

Optoelectronică

Curs 10
2023/2024

Disciplina 2023/2024

- ▶ 2C/1L Optoelectronicaă **OPTO**
- ▶ **Minim 7 prezente curs + laborator**
- ▶ Curs – conf. Radu Damian
 - an IV μE
 - Marti 14(:10)–16:00, P8
 - E – 70% din nota (50%+20%)
 - **20% test (VP) la curs**, saptamana 4–6?
 - probleme + (2p prez. curs)
 - **toate materialele permise**
- ▶ Laborator – **drd. Stefan Stoica**
 - an IV μE
 - Marti 16–20 par
 - Max. 7 prezente
 - L – 30% din nota (+Caiet de laborator)

Cuprins

- ▶ **Lumina ca undă electromagnetică*** (ecuațiile lui Maxwell, ecuația undelor, parametrii de propagare)
- ▶ **Elemente de fotometrie și radiometrie*** (mărimi energetice/luminoase)
- ▶ **Fibra optică** (realizare, principiu de funcționare, atenuare, dispersie, banda de frecvență)
- ▶ **Cabluri optice** (tehnologie, conectori, lipire – splice)
- ▶ **Proiectare sistemică a legăturii pe fibra optică** (bandă de frecvență, balanță puterilor)
- ▶ **Emitătoare optice** (LED și dioda laser – realizare fizică și funcționare)
- ▶ **Receptoare optice** (dioda PIN, dioda cu avalanșă – realizare fizică și funcționare)
- ▶ **Amplificatoare transimpedanță** (parametri, scheme tipice, TIA în buclă deschisă, cu reacție, diferențiale, control automat al câștigului)
- ▶ **Realizarea circuitelor pentru controlul emitătoarelor optice** (parametri, scheme tipice, controlul puterii, multiplexoare)
- ▶ **Dispozitive de captare a energiei solare** (principiu de funcționare, utilizare, proiectare)

* – VP

Documentatie

We are enlisted in the Telecommunications Department of the Electronics, Telecommunication and Information Technology Faculty (**ETTI**) from the "Gh. Asachi" Technical University (**TUIASI**) in Iasi, Romania

We currently cover inside **ETTI** the fields related to:

- Microwave Circuits and Devices
- Optoelectronics
- Information Technology

Courses

Nr.	Course	Shortcut	Code	Type	Semester	Credits	Weekly	Examination	Link
1	Microwave Devices and Circuits for Radiocommunications	DCMR	DOS412T	DOS	7	4	0P,1L,0S,2C	Exam	details
2	Monolithic Microwave Integrated Circuits	CIMM	RD.IA.207	DOMS	11	6	1.5P,0L,0S,2C,0P	Exam	details
3	Advanced Techniques in the Design of the Radio-communications Systems	TAPSR	RD.IA.103	DIMS	9	6	1.5P,0L,0S,2C	Exam	details
4	Optical Communications	CO	DOS409T	DOS	7	5	0P,1L,0S,3C	Colloquium	details
5	Optical Communications	OC	EDOS409T	DOS	7	5	0P,1L,0S,3C	Exam	details
6	Satellite Communications	CS	RC.IA.104	DIMS	9	6	0L,0S,2C,1.5P	Exam	details
7	Applied Informatics 1	IA1	DOF135	DOF	1	4	0P,1L,0S,2C	Verification	details
8	Applied Informatics 1	AI1	EDOF135	DOF	1	4	0P,1L,0S,2C	Verification	details
9	Databases, Web Programming and Interfacing	DWPI	ITI.IA.601	DIS	11	5	1P,1L,0.25S,1C	Verification	details
10	Web Applications Design	PAW	RC.IA.108	DIMS	10	5	1L,0S,1.5C,1P	Exam	details
11	Optoelectronics	OPTO	DID405M	DID	8	4	0P,1L,0S,2C	Colloquium	details
12	Microwave Devices and Circuits for Radiocommunications (English)	MDCR	EDOS412T	DOS	8	4	0P,1L,0S,2C	Exam	details



Documentatie

- ▶ RF-OPTO
 - <http://rf-opto.eti.tuiasi.ro>
- ▶ Fotografie
 - “examen” online
 - necesara la laborator/curs

Bonus (~0.5–4.15)

Disciplina: Optoelectronica, structuri, tehnologii, circuite

An: 2015/2016

Bonus-uri care se aplica la nota de la teza obtinute prin:

- prezenta la curs (0.5p / 3pr)
- 3 miniteste aplicate la curs (max. 3 X 1.5p)
- contributie la site rf-opto (foto <C5=1p, >C5=0.5p)

Nr.	Student	Grupa	Prezente curs	Bonus prezenta	Bonus foto	Bonus T1	Bonus T2	Bonus T3	Total Bonus	Obs.
1	CIOLPAN OCTAVIAN	5306	3	0.5					0.5	-
2	NITA COSTEL-CATALIN	5307	4	0.5	1				1.5	-
3	BARON BOGDAN-IONUT	5405	12	2	1	0.5		0.75	4.25	-

Prezenta

[Curs](#)
[Laborator](#)

Liste

[Studenti care nu pot intra in examen](#)
[Bonus-uri acumulate](#)

- **Minim 7 prezente**
- **0.5p/3prez**
- **3 teste**
- **foto <C7/<C9**

LED

Dioda electroluminescentă
Capitolul 7

Cuprins

- ▶ Lumina ca undă electromagnetică (ecuațiile lui Maxwell, ecuația undelor, parametrii de propagare)
- ▶ Elemente de fotometrie și radiometrie (mărimi energetice/luminoase)
- ▶ Fibra optică (realizare, principiu de funcționare, atenuare, dispersie, banda de frecvență)
- ▶ Cabluri optice (tehnologie, conectori, lipire – splice)
- ▶ Proiectare sistemică a legăturii pe fibra optică (bandă de frecvență, balanță puterilor)
- ▶ **Emițătoare optice** (LED și dioda laser – realizare fizică și funcționare)
- ▶ Receptoare optice (dioda PIN, dioda cu avalanșă – realizare fizică și funcționare)
- ▶ Amplificatoare transimpedanță (parametri, scheme tipice, TIA în buclă deschisă, cu reacție, diferențiale, control automat al câștigului)
- ▶ Realizarea circuitelor pentru controlul emițătoarelor optice (parametri, scheme tipice, controlul puterii, multiplexoare)
- ▶ Dispozitive de captare a energiei solare (principiu de funcționare, utilizare, proiectare)

Aplicatii majore LED

- ▶ Comunicatii
 - Infrarosu (InGaAsP)
- ▶ Vizibil
 - Spectru vizibil (GaAlAs)
- ▶ Iluminare
 - Putere ridicata, lumina alba (GaN)

LED – Principiul de operare

- ▶ Lumina este generata de o recombinare radiativa dintre un electron si un gol
- ▶ Recombinarea neradiativa transforma energia in caldura
- ▶ Eficienta cuantica $\eta = \frac{R_r}{R_r + R_{nr}}$
- ▶ La recombinarea radiativa $E_g = h\nu$; $\lambda = \frac{hc}{E_g}$
- ▶ Recombinare eficienta:
 - alegerea judicioasa a materialului
 - concentrarea purtatorilor in zona jonctiunii
- ▶ Lungimea de unda depinde de temperatura de functionare a dispozitivului: $0.6\text{nm}/^\circ\text{C}$

Lățimea benzii interzise/lungime de undă pentru materialele uzuale

Material	Formula	Wavelength Range λ (μm)	Bandgap Energy W_g (eV)
Indium Phosphide	InP	0.92	1.35
Indium Arsenide	InAs	3.6	0.34
Gallium Phosphide	GaP	0.55	2.24
Gallium Arsenide	GaAs	0.87	1.42
Aluminium Arsenide	AlAs	0.59	2.09
Gallium Indium Phosphide	GalnP	0.64-0.68	1.82-1.94
Aluminium Gallium Arsenide	AlGaAs	0.8-0.9	1.4-1.55
Indium Gallium Arsenide	InGaAs	1.0-1.3	0.95-1.24
Indium Gallium Arsenide Phosphide	InGaAsP	0.9-1.7	0.73-1.35

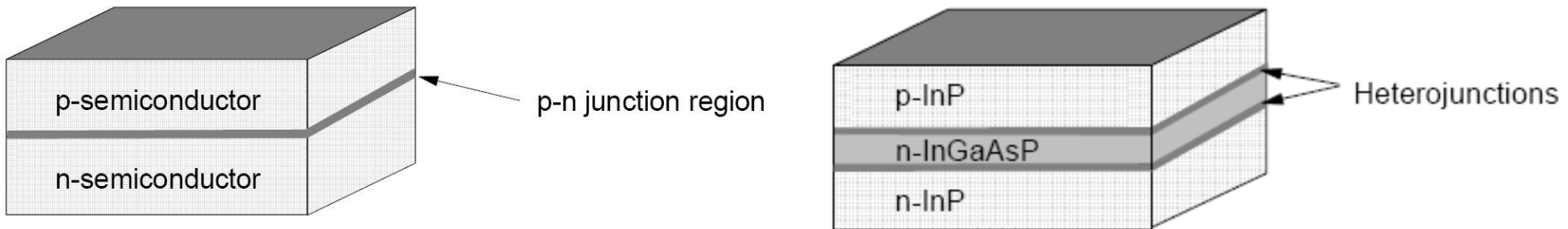
$$E_g = h\nu; \quad \lambda = \frac{hc}{E_g}; \quad \lambda[\mu\text{m}] = \frac{1.240}{E_g[\text{eV}]}$$

- ▶ h constanta lui Plank $6.6261 \cdot 10^{-34} \text{ Ws}^2$
- ▶ c viteza luminii **in vid** $2.998 \cdot 10^8 \text{ m/s}$
- ▶ e sarcina electronului $1.6 \cdot 10^{-19} \text{ C}$
- ▶ benzi energetice: λ_0 , **Δλ**

Materiale

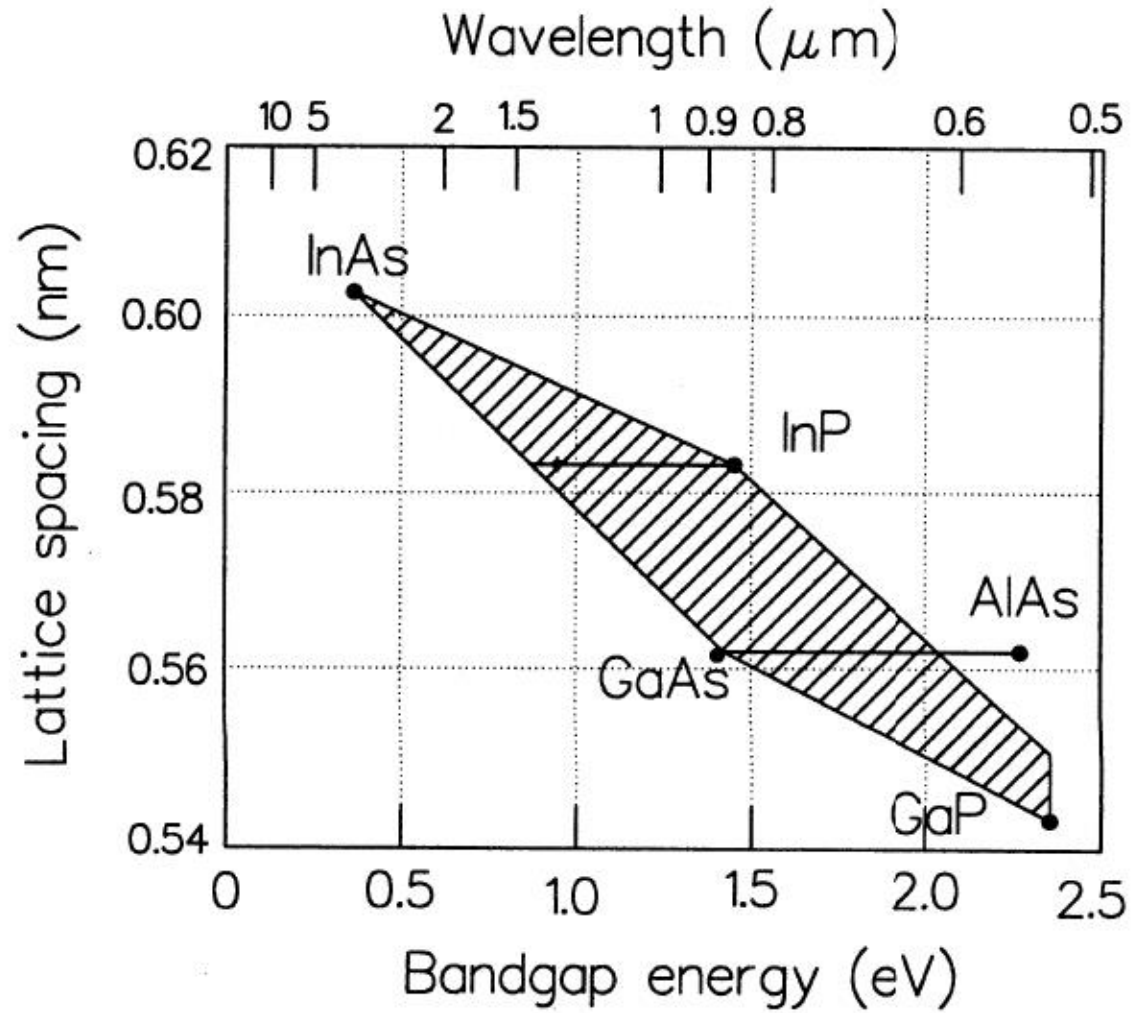
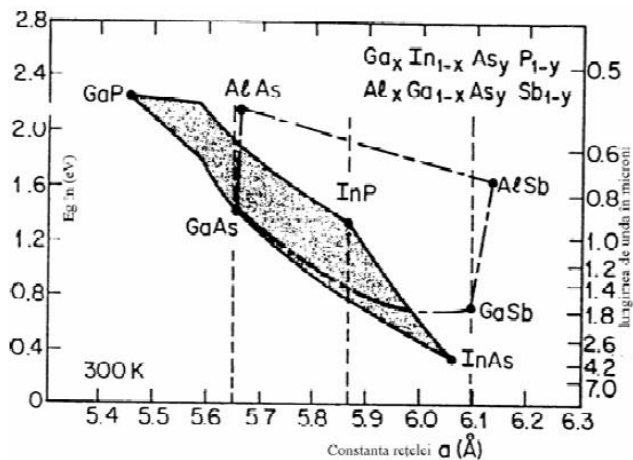
- ▶ Lungimi de unda mici (spectru vizibil – 1000nm)
 - GaP (665nm), $\text{GaAs}_y\text{P}_{1-y}$
 - **GaAs** (900nm), $\text{Ga}_{1-x}\text{Al}_x\text{As}$ (AlAs – 550nm)
- ▶ Lungimi de unda mari (1000÷1700nm)
 - **InP** (920nm), $\text{In}_x\text{Ga}_{1-x}\text{As}_y\text{P}_{1-y}$
 - x,y concentratii relative in aliaj a materialelor corespunzatoare
 - x,y alese din considerente privind
 - lungimea de unda
 - spatierea atomilor
- ▶ Ultraviolet – Albastru: **GaN**, **GaInN**

LED cu heterojuncțiuni – preview

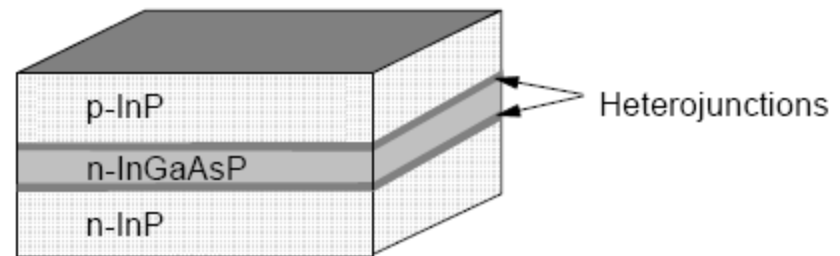
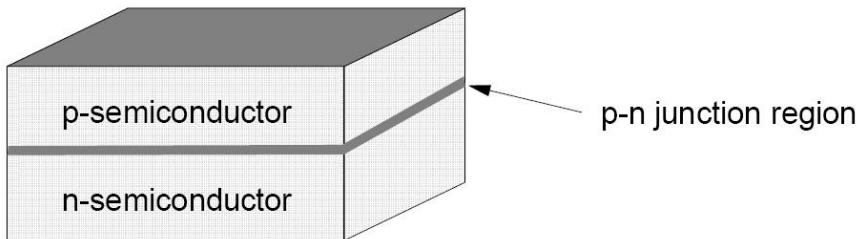


- ▶ **Orice** jonctiune p–n emite lumina
- ▶ O jonctiune p–n obisnuită este foarte subtire
 - volumul în care apar recombinări este foarte mic
 - eficiența luminoasă, redusă
- ▶ lumina este emisa în toate direcțiile
 - cantitatea de lumina utilizabila (într-o anumita direcție) este redusă

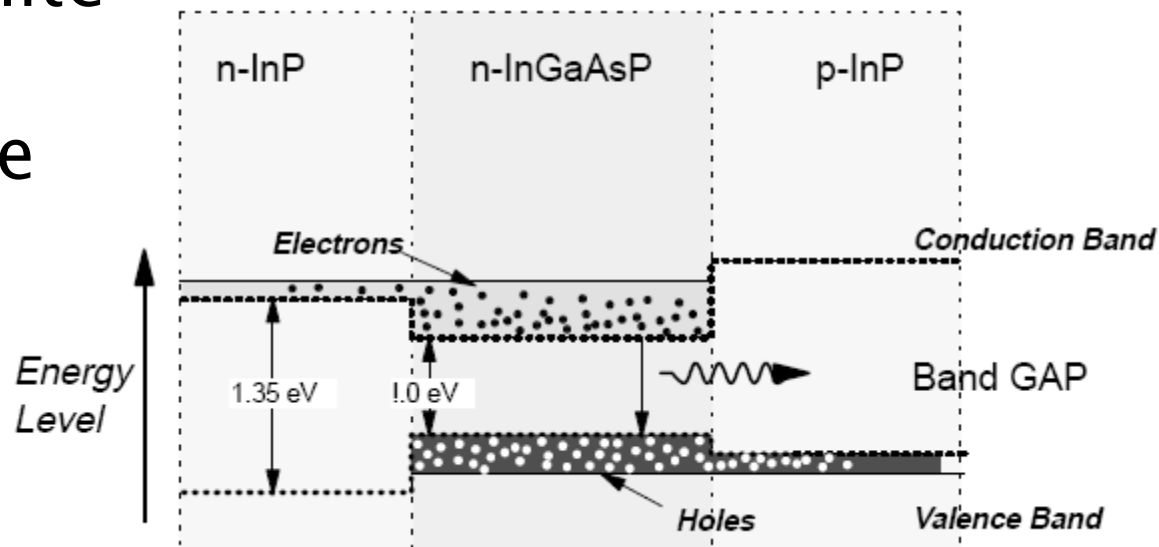
Dependență benzii interzise de constanta rețelei



LED cu heterojunctiuni – principiu



- ▶ Structura de nivele energetice permite capturarea purtatorilor intre cele doua heterojonctiuni



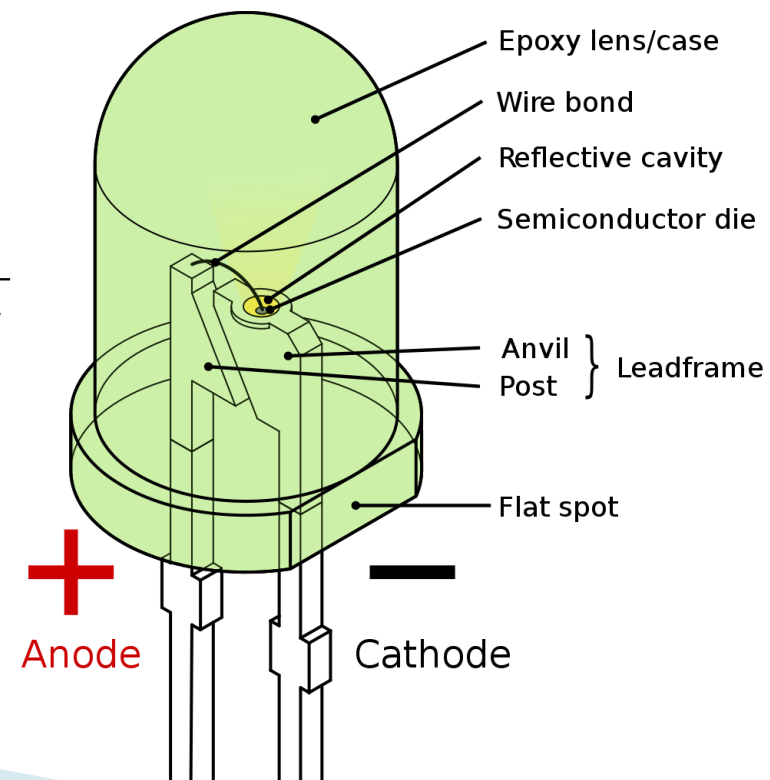
Emisia luminii spre exterior

► Solutii

- utilizarea unui material intermediar pentru adaptarea indicelui de refractie (rasina epoxidica)
- adaptarea formei de iesire din dispozitiv – forma de dom
 - eficienta de cuplaj

$$\text{interfata plana} \frac{1}{n \cdot (n+1)^2}$$

$$\text{dom} \frac{2n}{(n+1)^2}$$

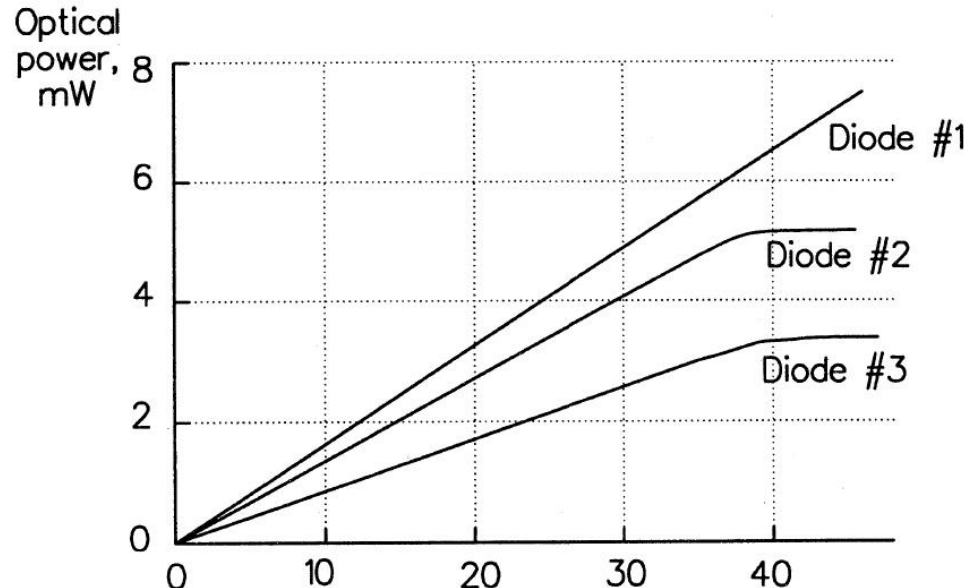


Caracteristica de raspuns a LED-urilor

- ▶ Caracteristica putere optica emisa functie de curentul direct prin LED este liniara la nivele mici ale curentului.
- ▶ Nu exista curent de prag
- ▶ La nivele foarte mari puterea optica se satureaza
- ▶ Rezonabilitatea

$$r = \frac{P_o}{I} \quad \left[\frac{W}{A} \right]$$

- ▶ Tipic $r=50\mu W/mA$



Control static LED

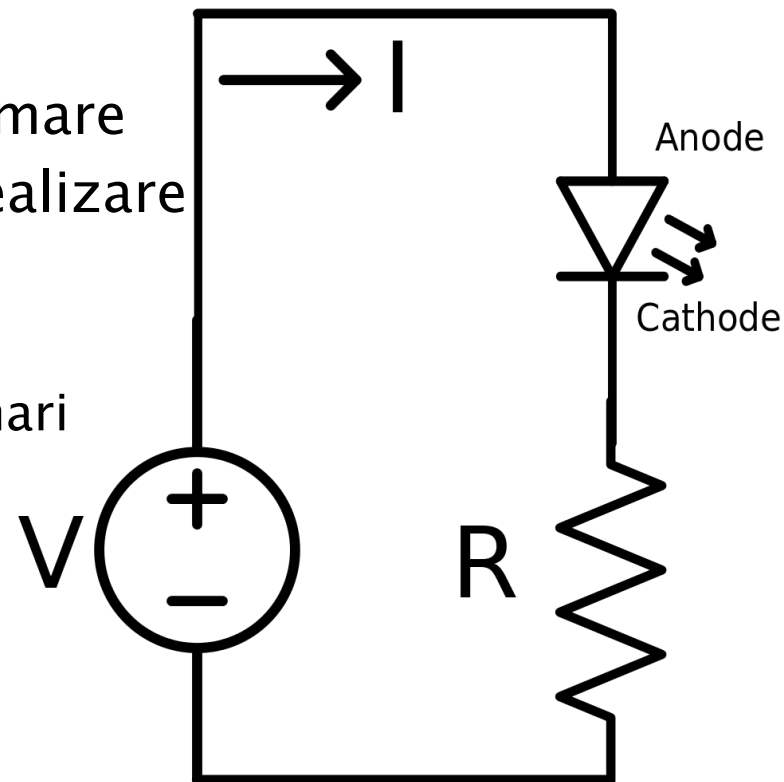
- ▶ Cea mai simpla schema de control:
un rezistor in serie cu LED

- **Atentie!** Tensiunea directa poate varia semnificativ ($>>0.7V$) si trebuie preluata din catalog

- mai ales la intensitate luminoasa mare
- datorita materialelor diferite de realizare a LED-urilor
- dependenta de lungimea de unda
 - mai mica la lungimi de unda mai mari

$$I_v = f(I_F[\text{mA}]) \quad [\text{cd/mcd}]$$

$$I_F = \frac{V_{cc} - V_F}{R}$$



Control static LED



Ultra Bright LED Lamps Round Types

Package	Part No.	Chip			Absolute Maximum Ratings				Electro-optical Data(At 20mA)			Viewing Angle 2θ 1/2 (deg)	Drawing No.
		Material Emitted Color	Peak Wave Length p(nm)	Dominant Wave Length λ_d (nm)	Δλ (nm)	Pd (mw)	If (mA)	Peak (mA)	Vf (V) Typ.	Iv (mcd) Max	Typ.		
T-1 Standard 1.0" Lead 3φ Water Clear	BL-BF43V1	GaAlAs/ DDH Super Red	660	643±5	20	80	30	150	2.0	2.6	700	25	L-001
	BL-BG33V1	InGaAlP/ Yellow Green	573	571±5	15	100	30	150	2.2	2.6	700	25	
	BL-BG43V1	InGaN/SiC/ Bluish Green	505	505±5	30	120	30	150	3.5	4.0	3500	24	
	BL-BG63V1	InGaN/SiC/ Green	525	525±5	35	120	30	150	3.5	4.0	4000	24	
	BL-BJ23V1	InGaAlP/ Super Orange	620	615±5	17	100	30	150	2.2	2.6	1700	25	
	BL-BJ33V1	InGaAlP/ Super Orange	630	625±5	17	100	30	150	2.2	2.6	1100	25	
	BL-BJ63V1	InGaAlP/ Super Orange	610	605±5	17	100	30	150	2.2	2.6	1500	25	
	BL-BJ73V1	InGaAlP/ Super Orange	630	625±5	17	100	30	150	2.2	2.6	1500	25	
	BL-BJH3V1	InGaAlP/ Super Orange	630	625±5	17	100	30	150	2.2	2.6	2500	25	
	BL-BJG3V1	InGaAlP/ Super Orange	630	625±5	17	100	30	150	2.2	2.6	3000	25	
	BL-BK43V1	InGaAlP/ Super Yellow	590	587±5	15	100	30	150	2.2	2.6	1600	25	
	BL-BK53V1	InGaAlP/ Super Yellow	595	594±5	15	100	30	150	2.2	2.6	1500	25	
	BL-BK73V1	InGaAlP/ Super Yellow	595	594±5	15	100	30	150	2.2	2.6	2000	25	
	BL-BK83V1	InGaAlP/ Super Yellow	590	587±5	15	100	30	150	2.2	2.6	2000	25	
	BL-BKH3V1	InGaAlP/ Super Yellow	590	587±5	15	100	30	150	2.2	2.6	2500	25	
	BL-BKG3V1	InGaAlP/ Super Yellow	590	587±5	15	100	30	150	2.2	2.6	3000	25	
	BL-BF43V4V	GaAlAs/ DDH Super Red	660	643±5	20	80	30	150	2.0	2.6	1200	15	
	BL-BG33V4V	InGaAlP/ Yellow Green	573	571±5	15	100	30	150	2.2	2.6	1100	15	
	BL-BG43V4V	InGaN/SiC/ Bluish Green	505	505±5	30	120	30	150	3.5	4.0	6000	12	
	BL-BG63V4V	InGaN/SiC/ Green	525	525±5	35	120	30	150	3.5	4.0	5600	12	

3.5	4.0	3500
3.5	4.0	4000
2.2	2.6	1700
2.2	2.6	1100

♦ Electro-Optical Characteristics

Item	Symbol	Condition	Minimum	Typical	Maximum	Unit
Forward Voltage	V_F	$I_F = 240 \text{ mA}$		19.0		V
Brightness	I_v	$I_F = 240 \text{ mA}$		13		cd
Total Radiated Power	P_o	$I_F = 240 \text{ mA}$		60		mW

Diода Laser

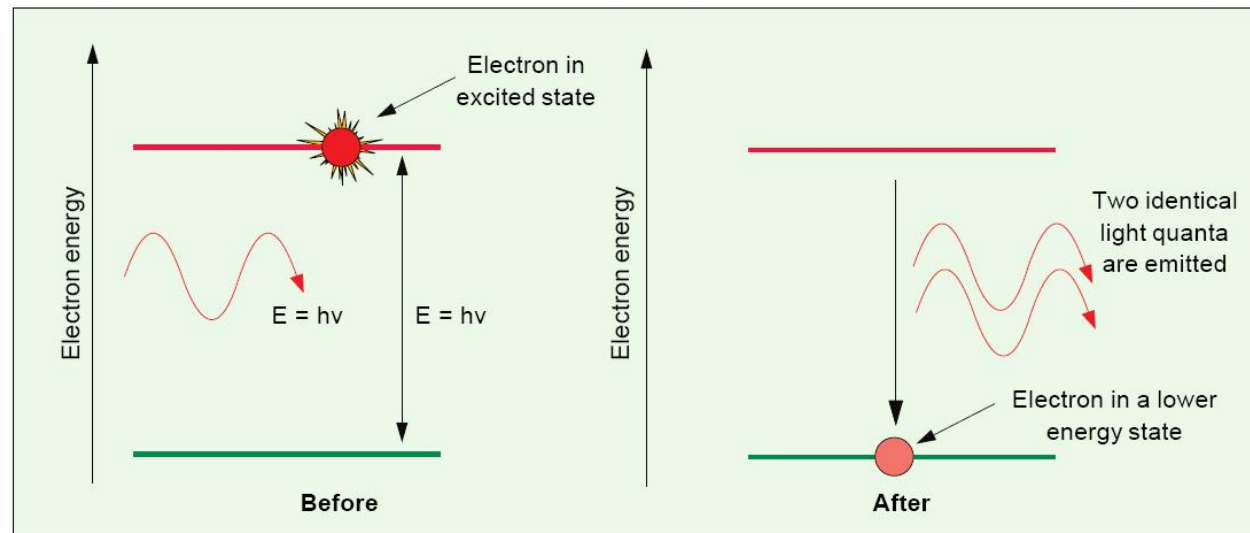
Capitolul 8

Cuprins

- ▶ Lumina ca undă electromagnetică (ecuațiile lui Maxwell, ecuația undelor, parametrii de propagare)
- ▶ Elemente de fotometrie și radiometrie (mărimi energetice/luminoase)
- ▶ Fibra optică (realizare, principiu de funcționare, atenuare, dispersie, banda de frecvență)
- ▶ Cabluri optice (tehnologie, conectori, lipire – splice)
- ▶ Proiectare sistemică a legăturii pe fibra optică (bandă de frecvență, balanță puterilor)
- ▶ **Emițătoare optice** (LED și dioda laser – realizare fizică și funcționare)
- ▶ Receptoare optice (dioda PIN, dioda cu avalanșă – realizare fizică și funcționare)
- ▶ Amplificatoare transimpedanță (parametri, scheme tipice, TIA în buclă deschisă, cu reacție, diferențiale, control automat al câștigului)
- ▶ Realizarea circuitelor pentru controlul emițătoarelor optice (parametri, scheme tipice, controlul puterii, multiplexoare)
- ▶ Dispozitive de captare a energiei solare (principiu de funcționare, utilizare, proiectare)

Diода LASER – Prințipiu de operare

- ▶ Emisia stimulată – un foton incident cu energie corespunzătoare poate stimula emisia unui alt doilea foton **fără a fi absorbit**
- ▶ Noul foton are aceeași direcție și fază cu fotonul incident, Lumina rezultată e coerentă



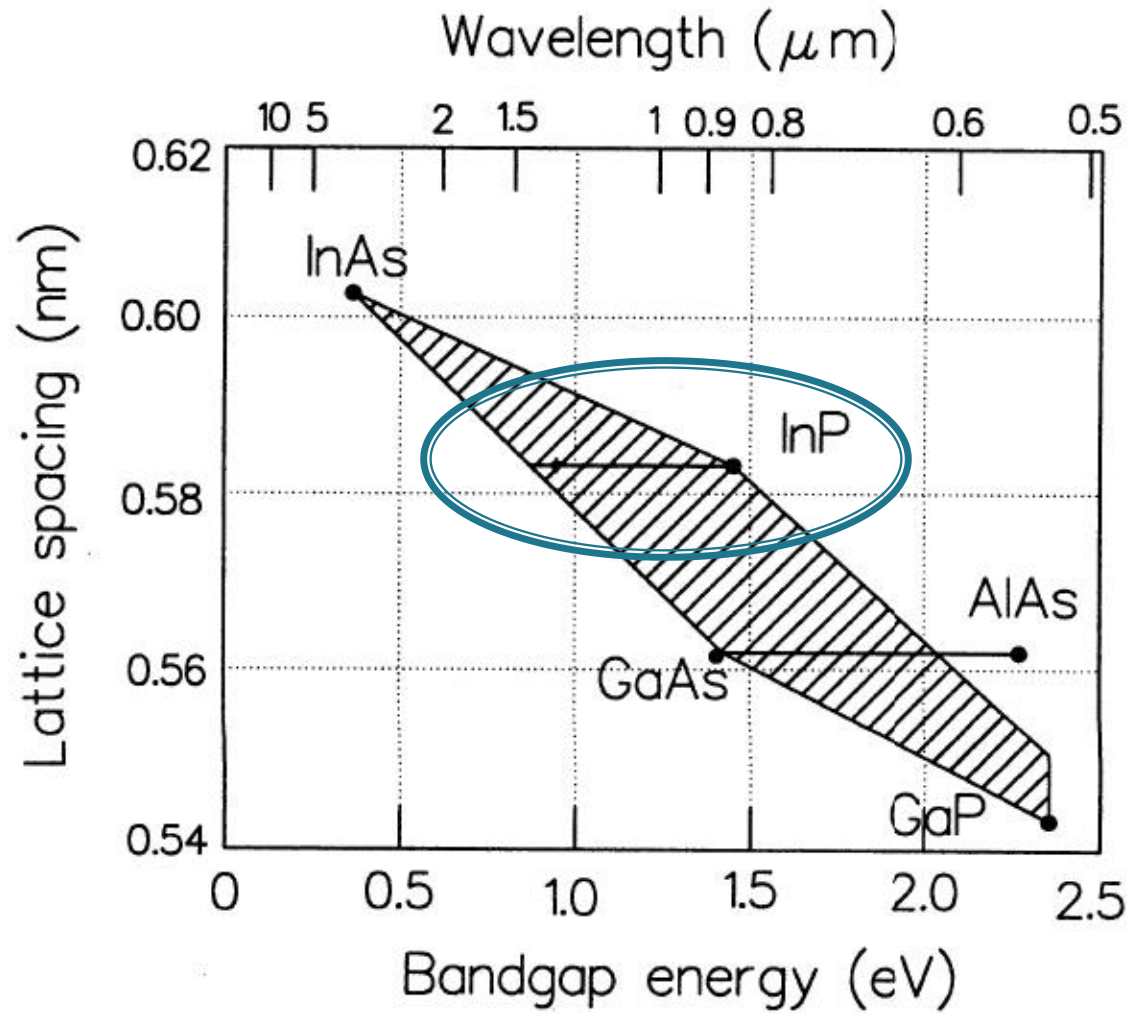
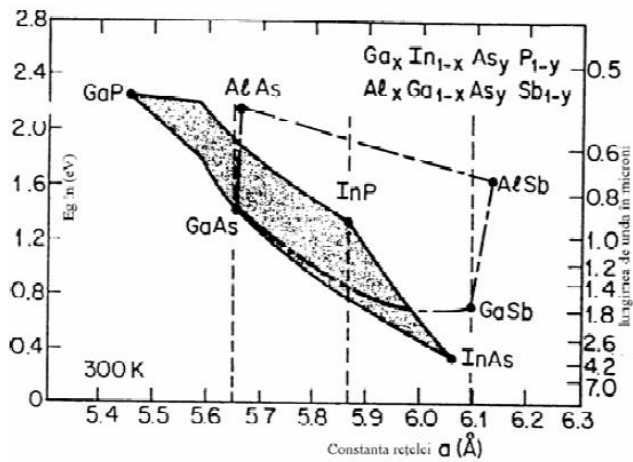
Lățimea benzii interzise/lungime de undă pentru materialele uzuale

Material	Formula	Wavelength Range λ (μm)	Bandgap Energy W_g (eV)
Indium Phosphide	InP	0.92	1.35
Indium Arsenide	InAs	3.6	0.34
Gallium Phosphide	GaP	0.55	2.24
Gallium Arsenide	GaAs	0.87	1.42
Aluminium Arsenide	AlAs	0.59	2.09
Gallium Indium Phosphide	GalnP	0.64-0.68	1.82-1.94
Aluminium Gallium Arsenide	AlGaAs	0.8-0.9	1.4-1.55
Indium Gallium Arsenide	InGaAs	1.0-1.3	0.95-1.24
Indium Gallium Arsenide Phosphide	InGaAsP	0.9-1.7	0.73-1.35

$$E_g = h\nu; \quad \lambda = \frac{hc}{E_g}; \quad \lambda[\mu\text{m}] = \frac{1.240}{E_g[\text{eV}]}$$

- ▶ h constanta lui Plank $6.6261 \cdot 10^{-34} \text{ Ws}^2$
- ▶ c viteza luminii **in vid** $2.998 \cdot 10^8 \text{ m/s}$
- ▶ e sarcina electronului $1.6 \cdot 10^{-19} \text{ C}$
- ▶ benzi energetice: λ_0 , **Δλ**

Dependență benzii interzise de constanta rețelei



Principii LASER

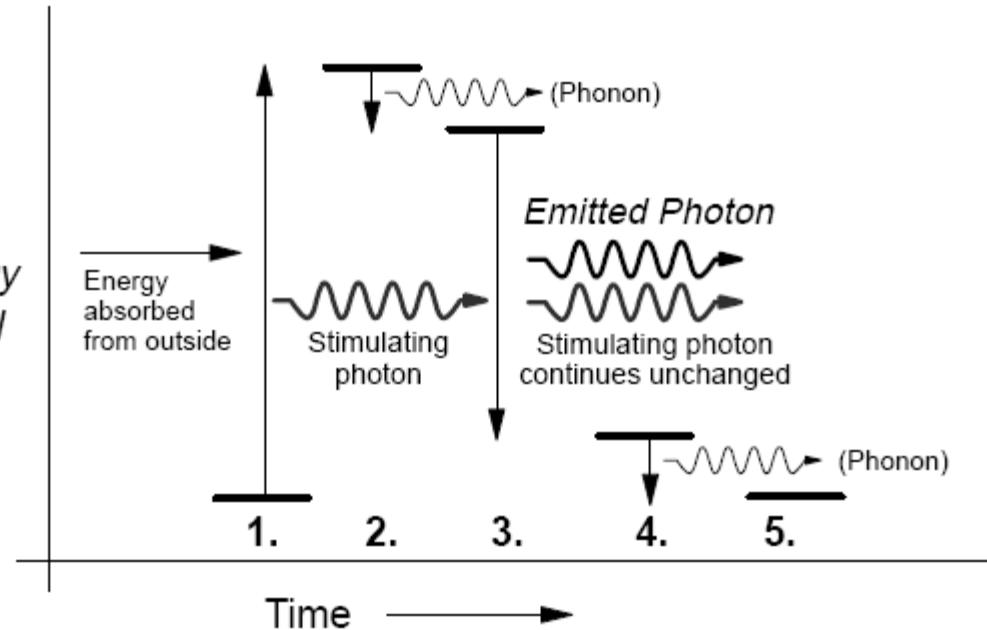
- ▶ Inversiune de populatie
 - necesara deoarece electronii au capabilitatea de a absorbi energie **la aceeasi frecventa** la care are loc emisia stimulata
 - se defineste probabilistic: probabilitatea de emisie stimulata sa fie mai mare decat probabilitatea de absorbtie

$$n_c \cdot p_e > n_v \cdot p_a$$

- ▶ Materialele capabile sa genereze inversiune de populatie au starea excitata metastabila

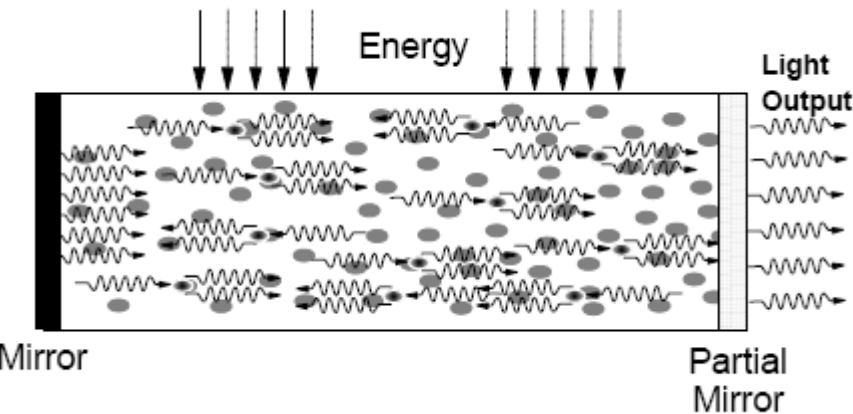
Materiale cu 4 nivele energetice

- ▶ La un material cu 4 nivele energetice tranzitia radianta a electronului (3) se termina intr-o stare instabila, starea de echilibru obtinandu-se prin emisia unui fonon
- ▶ Inversiunea de populatie se obtine mult mai usor datorita electronilor din starea intermediara



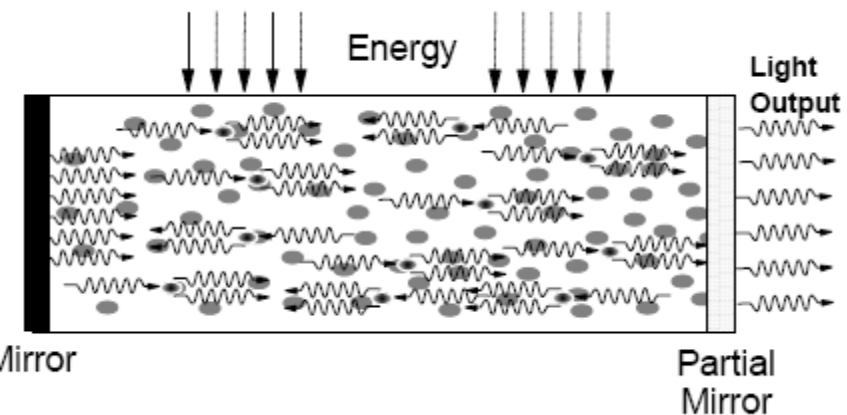
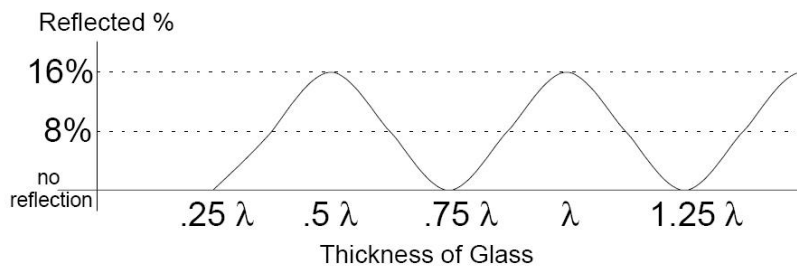
Diода LASER – Principiul de realizare

- ▶ Pentru ca emisia stimulata să apară, fotonii emisi trebuie să ramână în contact cu materialul o perioadă mai mare de timp – 2 oglinzi necesare
- ▶ Pentru a permite extragerea radiatiei este necesar ca una din oglinzi să fie parțial reflectantă

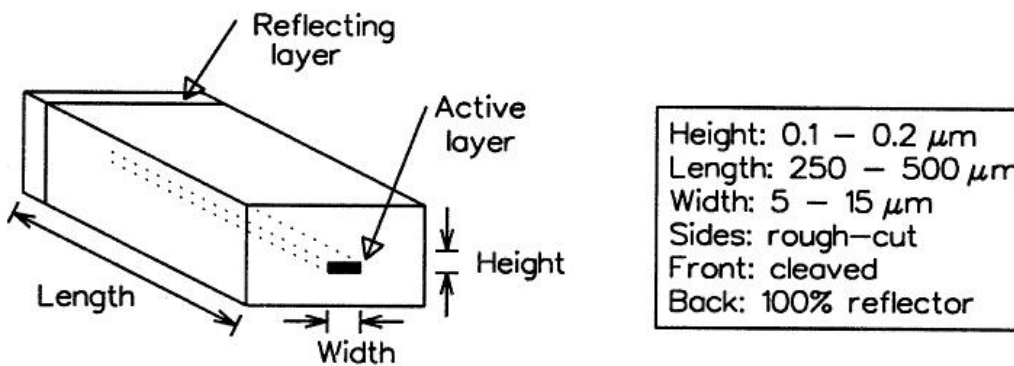
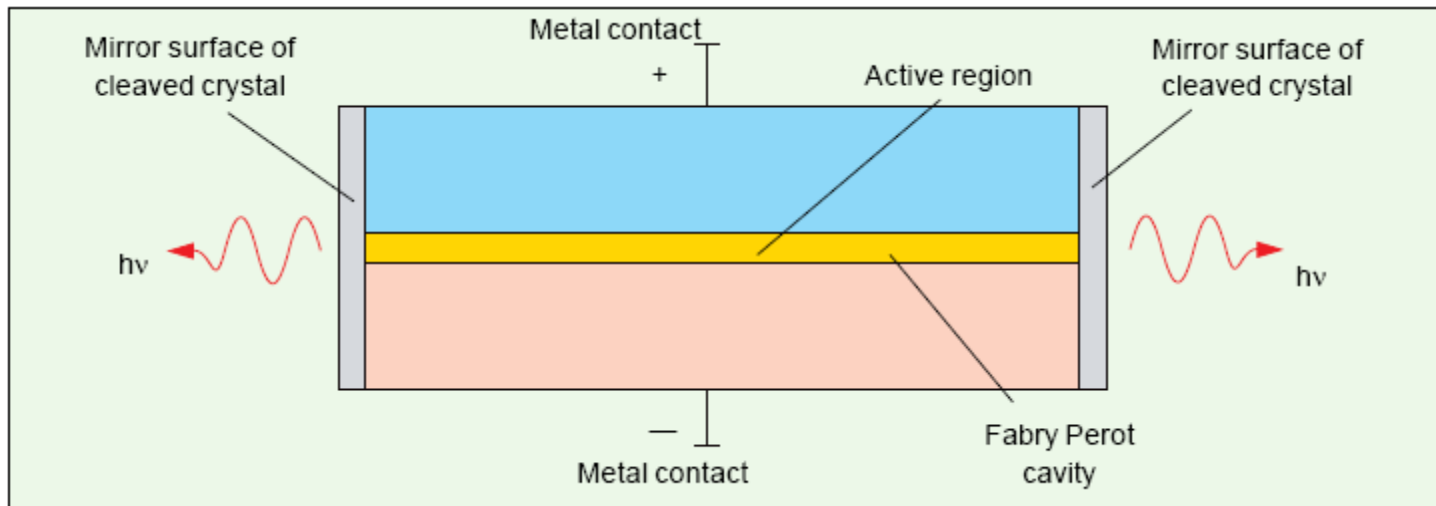


Diода LASER – Principiu de realizare

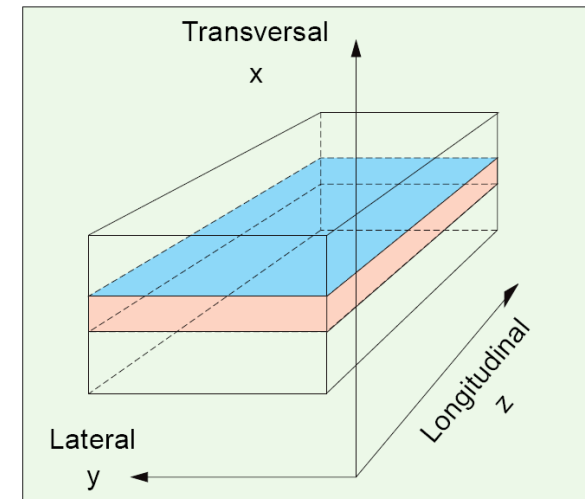
- ▶ Pentru diodele laser utilizate in comunicatii reflectivitatea oglinzilor nu trebuie sa fie foarte mare
- ▶ Interfata semiconductor aer ofera un coeficient de reflexie de ~6% dar poate ajunge la 36% pentru lungimea de unda de operare (vezi lamela dielectrica)



Diода LASER Fabry Perot



Definirea directiilor in
dioda LASER



Diода LASER – Prințipiu de realizare

- ▶ Pentru a realiza
 - coerenta radiatiei
 - interferenta constructiva intre radiatiile incidente si reflectate de oglinzi,
- ▶ distanta intre oglinzi trebuie sa fie un multiplu a jumatate din lungimea de unda

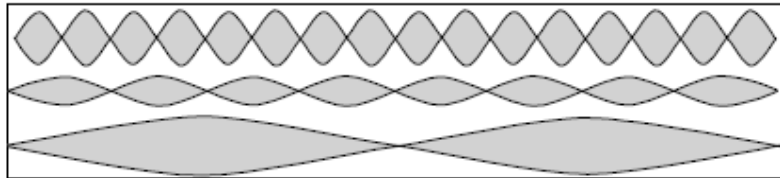
$$L = k \cdot \frac{1}{2} \cdot \frac{\lambda_0}{n}$$

$$L = k \cdot \frac{c_0}{2 \cdot n \cdot f}$$

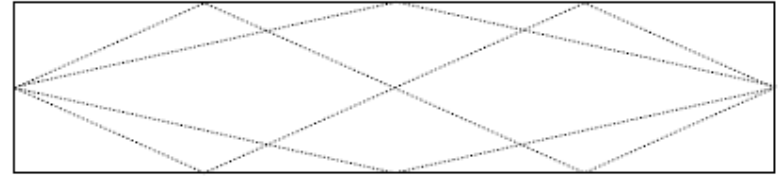
$$f = k \cdot \frac{c_0}{2 \cdot n \cdot L}$$

- ▶ Pentru eficientizarea pomparii de energie din exterior $L=100\div200\mu\text{m}$, $k \approx 400$

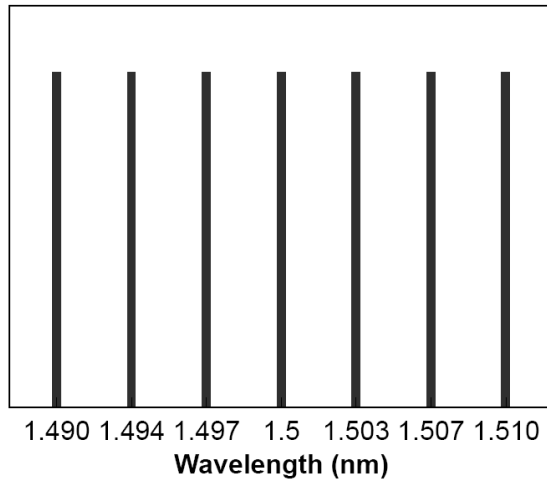
Spectrul diodei LASER



Longitudinal Modes



Lateral Modes

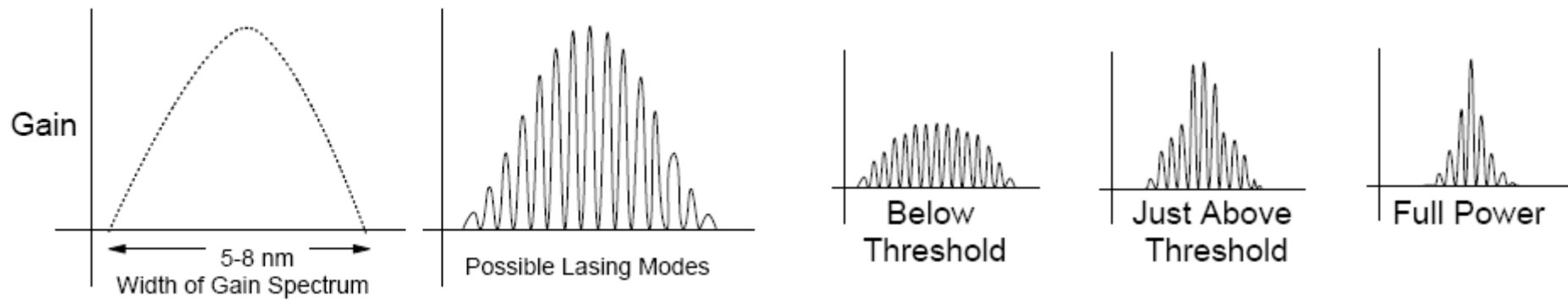


$$f_k = k \cdot \frac{c_0}{2 \cdot n \cdot L} \quad \Delta f = \frac{c_0}{2 \cdot n \cdot L}$$

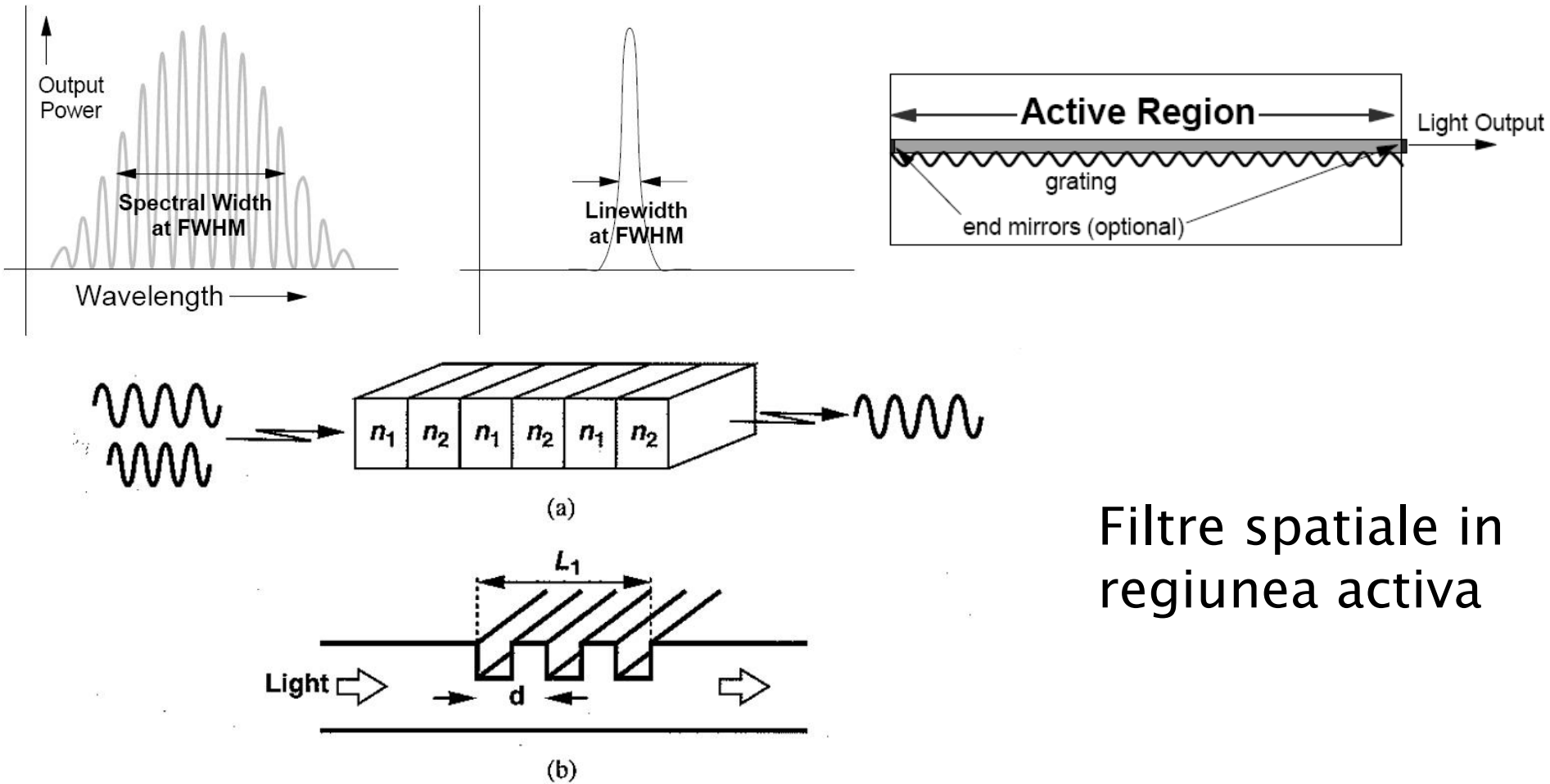
$$\Delta\lambda \cong \frac{\lambda_0^2}{2 \cdot n \cdot L}$$

Spectrul diodei LASER

- ▶ Castigul diodei laser (eficacitatea aparitiei emisiei stimulate) depinde
 - de caracteristicile energetice ale materialului din care e realizata dioda
 - de energia pompata din exterior (currentul prin dioda)

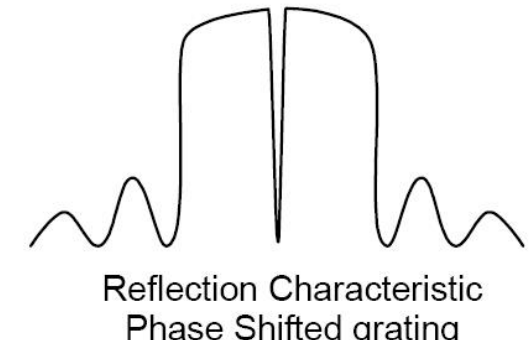
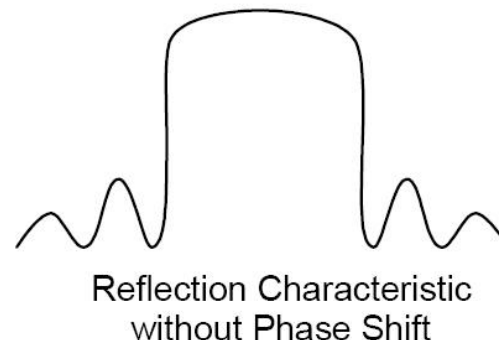
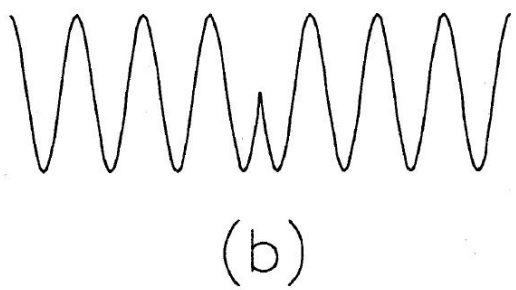
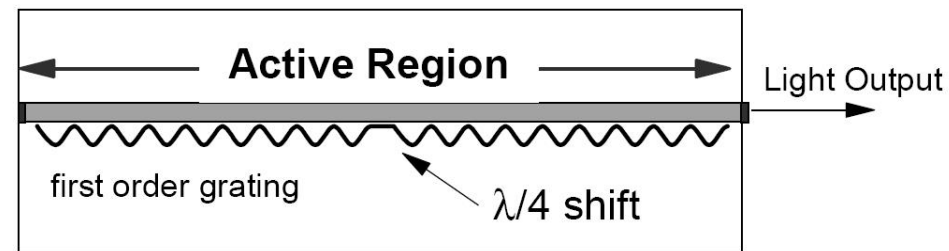
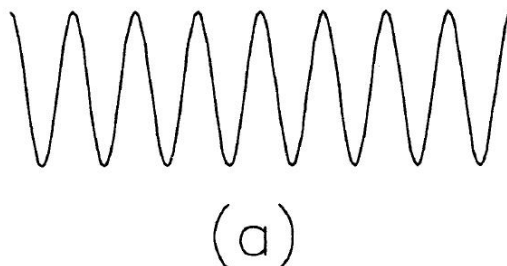


Distributed Feedback (DFB) Lasers



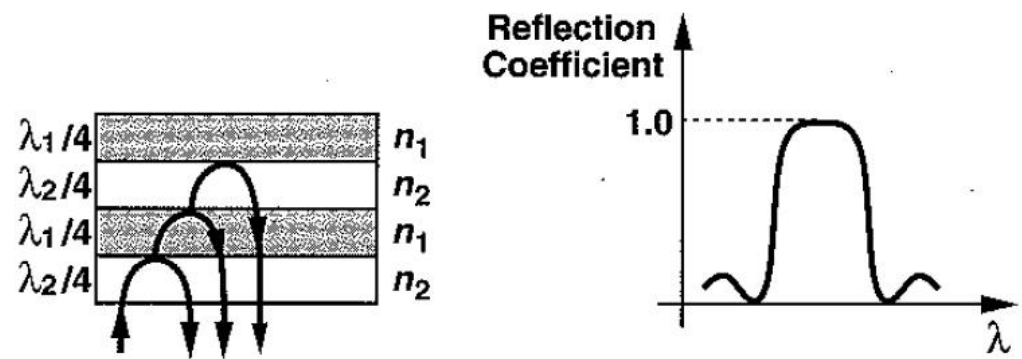
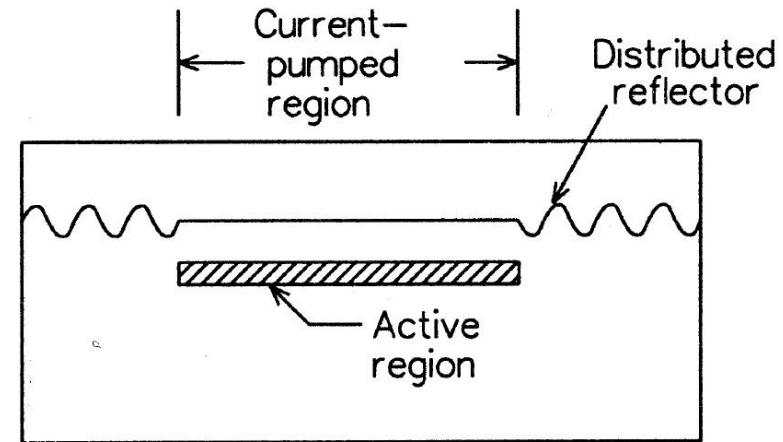
Distributed Feedback (DFB) Lasers

- ▶ Pentru operarea in impulsuri, un salt de $\lambda/4$ ingusteaza suplimentar spectrul diodei laser



Distributed Bragg Reflector (DBR) Lasers

- ▶ Se utilizeaza suprafete reflective selective pentru filtrare optica



Caracteristici curent tensiune

- ▶ Amorsarea emisiei stimulate necesita pomparea unei anumite cantitati de energie – curent de prag

$I < I_{th}$ regim LED

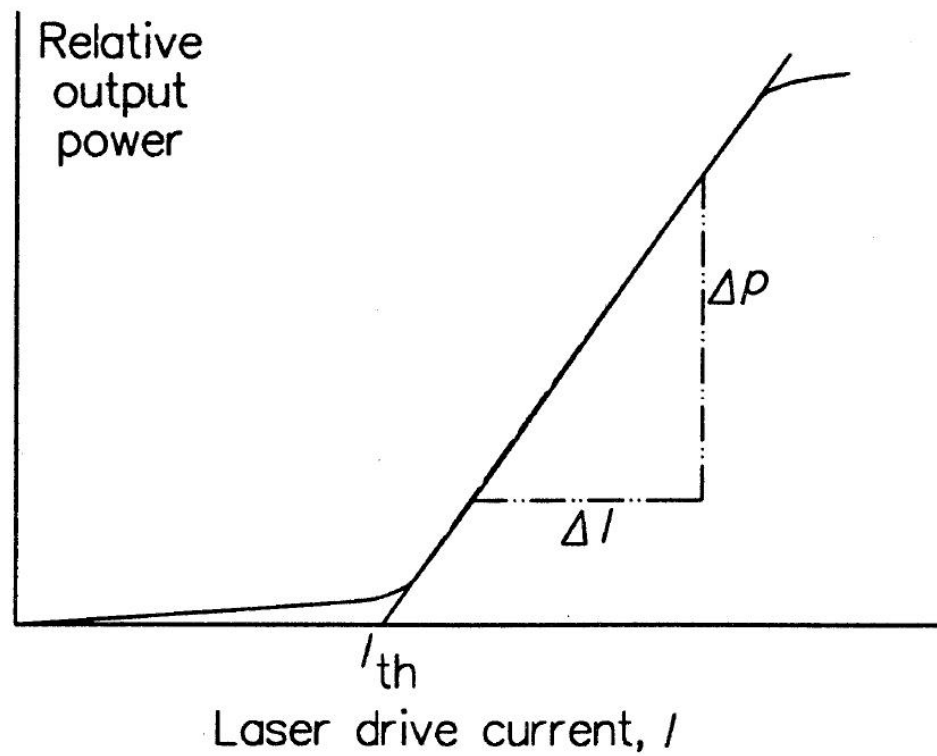
ineficient!, $P_o \approx 0$

$I > I_{th}$ regim LASER

$$r = \frac{\Delta P_o}{\Delta I} \left[\frac{W}{A} \right]$$

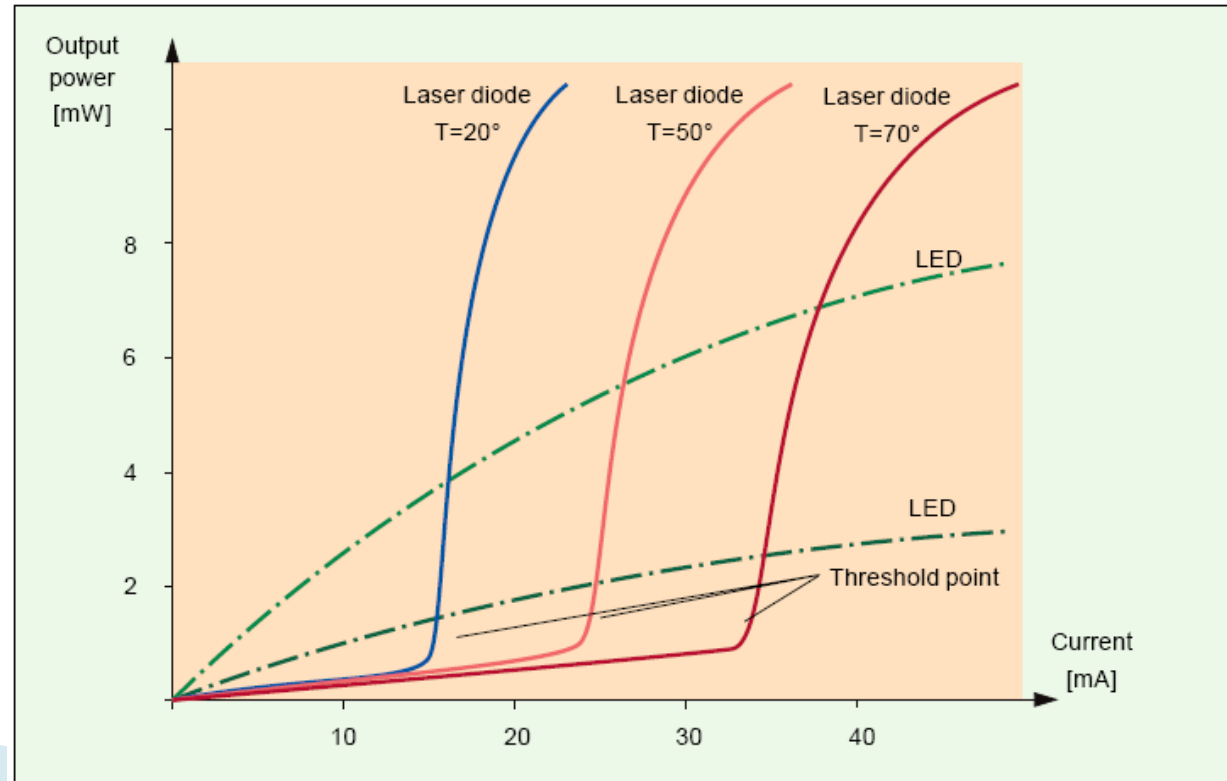
$$P_o = r \cdot (I - I_{th})$$

Apare saturare la nivele mari de curent



Temperatura si îmbatrânire

- ▶ Curentul de prag variaza cu temperatura si cu timpul
- ▶ Variatia tipica 1–2%/°C



Dependenta de temperatura

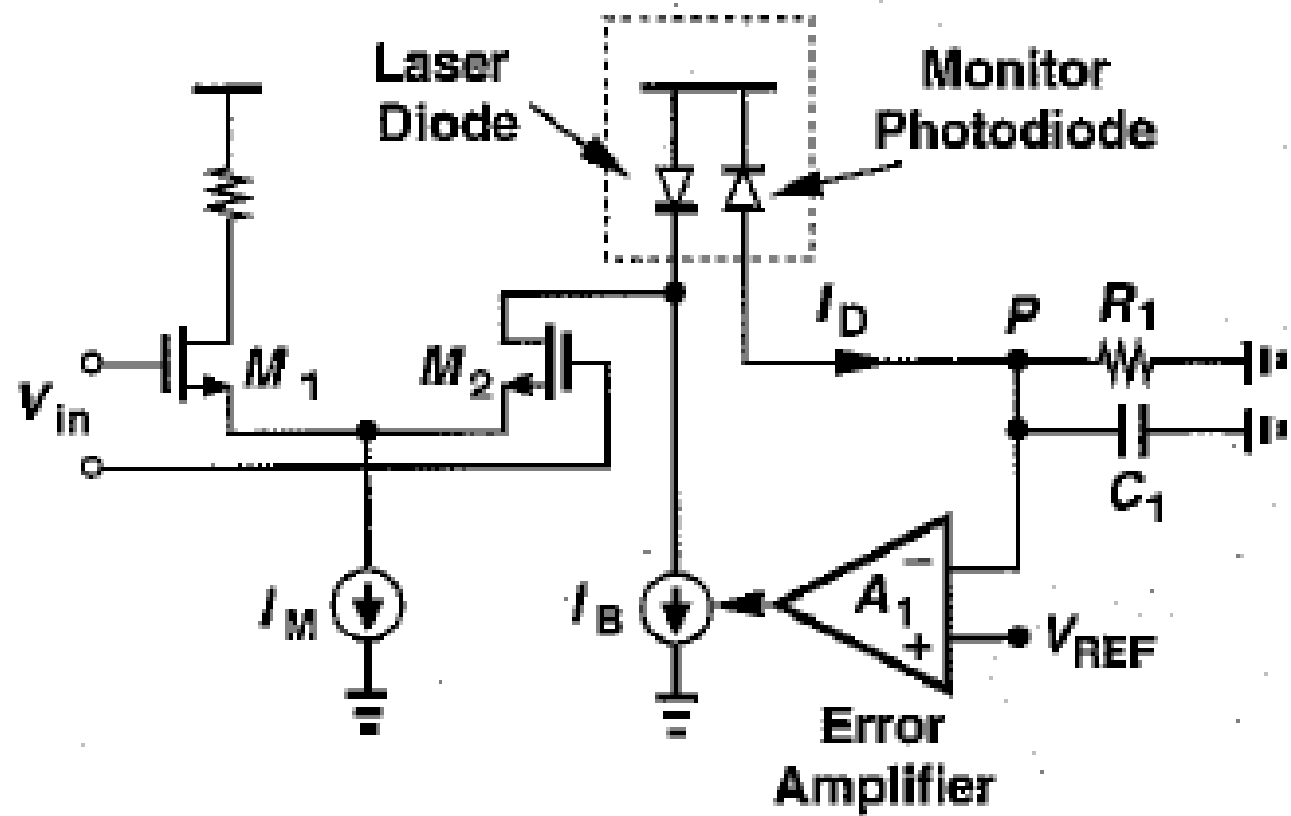
- Dependenta de temperatura a curentului de prag este exponentiala

$$I_{th} = I_0 \cdot e^{T/T_0}$$

- I_0 e o constanta determinata la temperatura de referinta

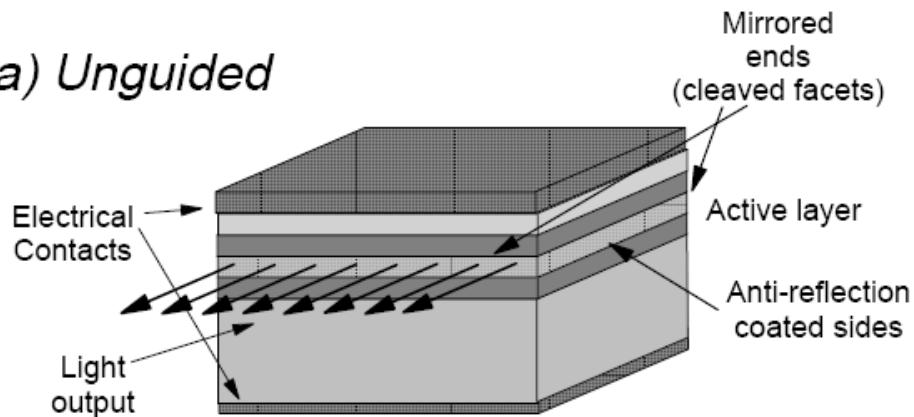
Material	Lungime de unda	T_0
InGaAsP	1300 nm	60÷70 K
InGaAsP	1500 nm	50÷70 K
GaAlAs	850 nm	110÷140 K

Monitorizarea radiației de spate

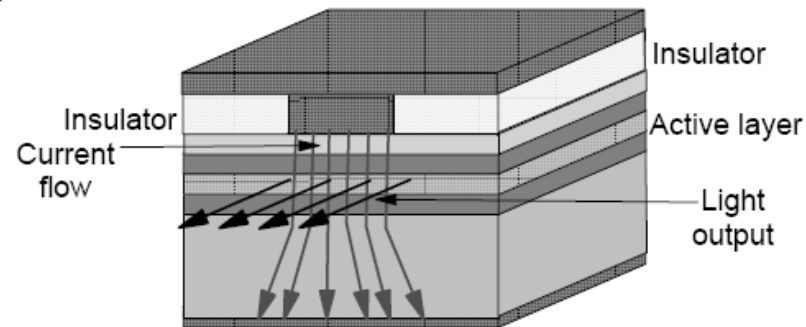


Diracționarea luminii în laser-ul Fabry Perot

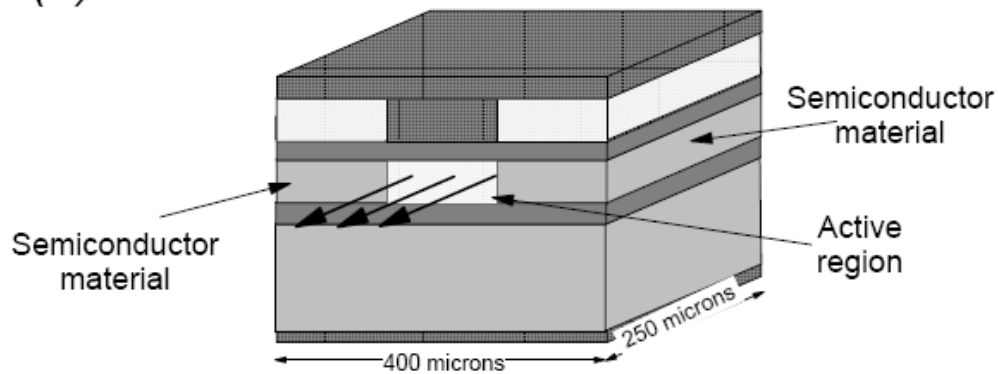
(a) Unguided



(b) Gain Guided

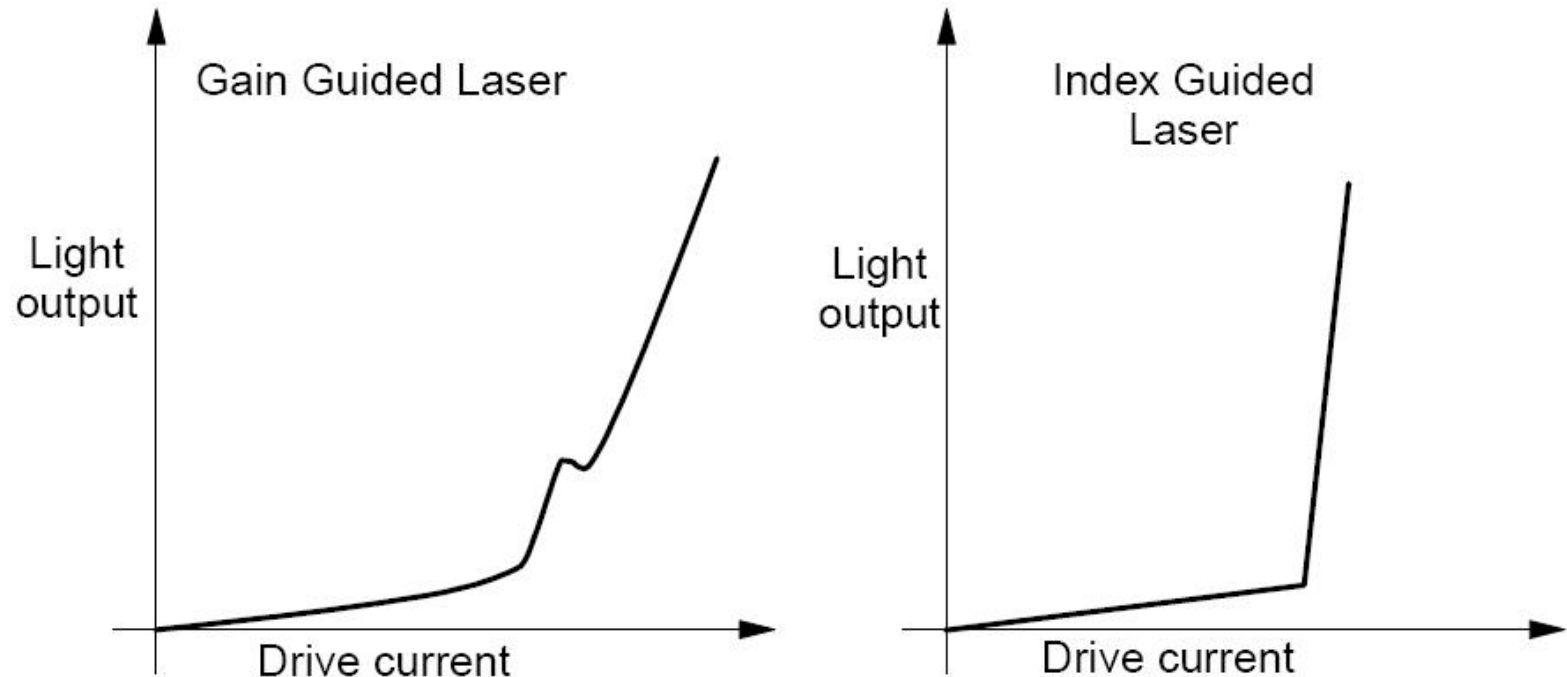


(c) Index Guided

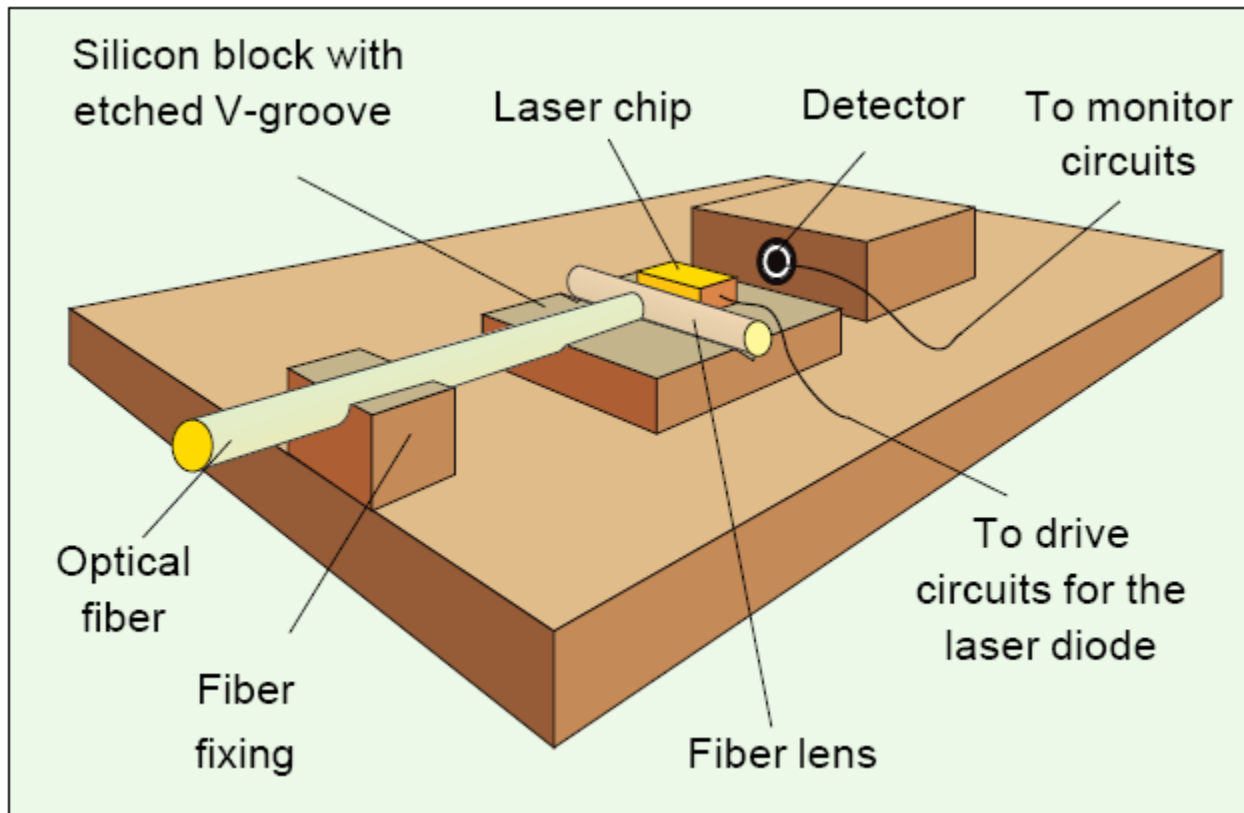


Efectul ghidării

- ▶ Gain guided – 8÷20 linii spectrale (5÷8 nm)
- ▶ Index guided – 1÷5 linii spectrale (1÷3 nm)

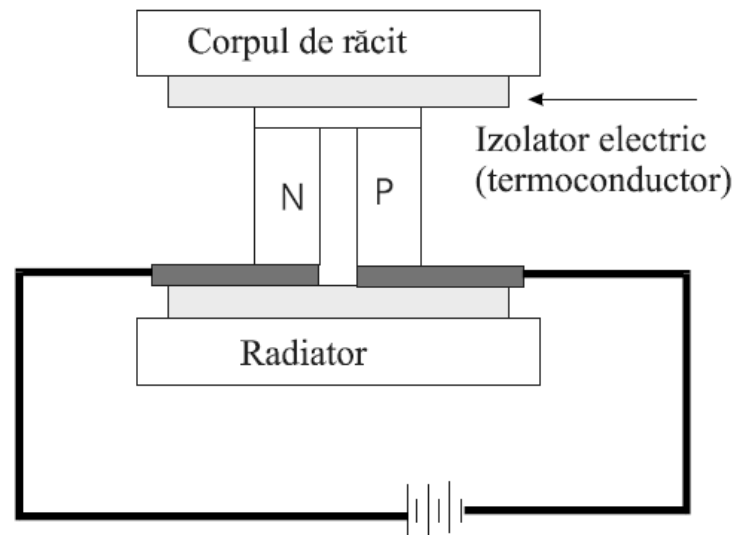


Cuplarea luminii în fibră



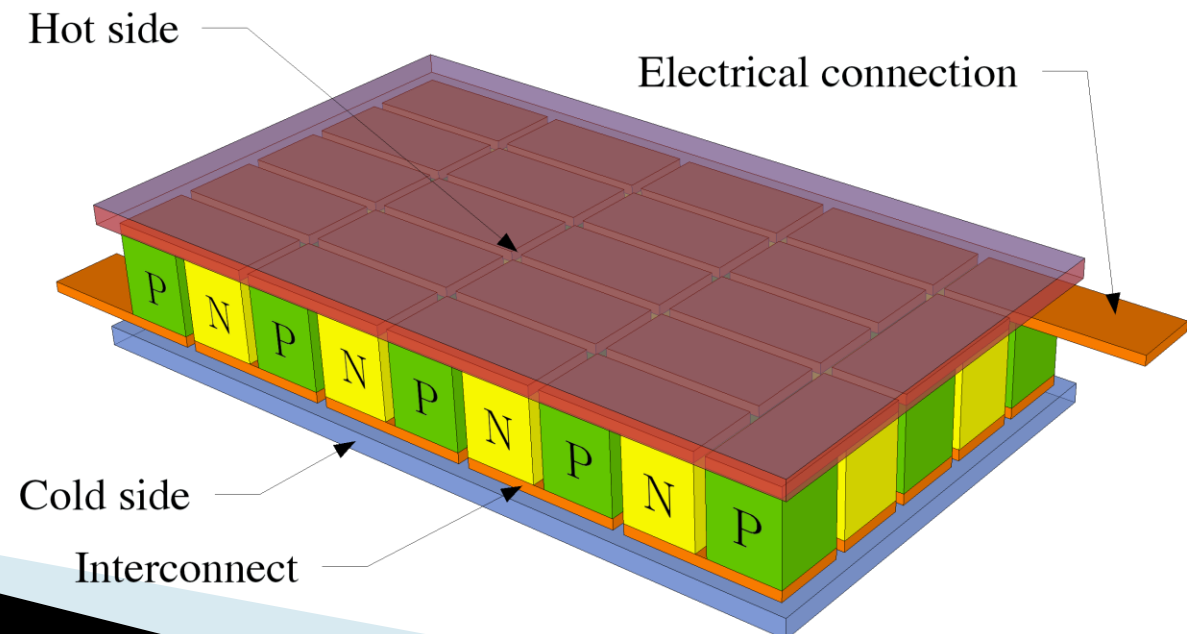
Dispozitiv termoelectric (Peltier)

- ▶ Jonctiunea intre doua materiale conductoare diferite poate genera sau absorbi caldura in functie de sensul curentului
- ▶ Tipic se utilizeaza doua regiuni semiconductoare puternic dopate (tipic telurit de bismut) conectate electric in serie iar termic in paralel



Dispozitiv termoelectric (Peltier)

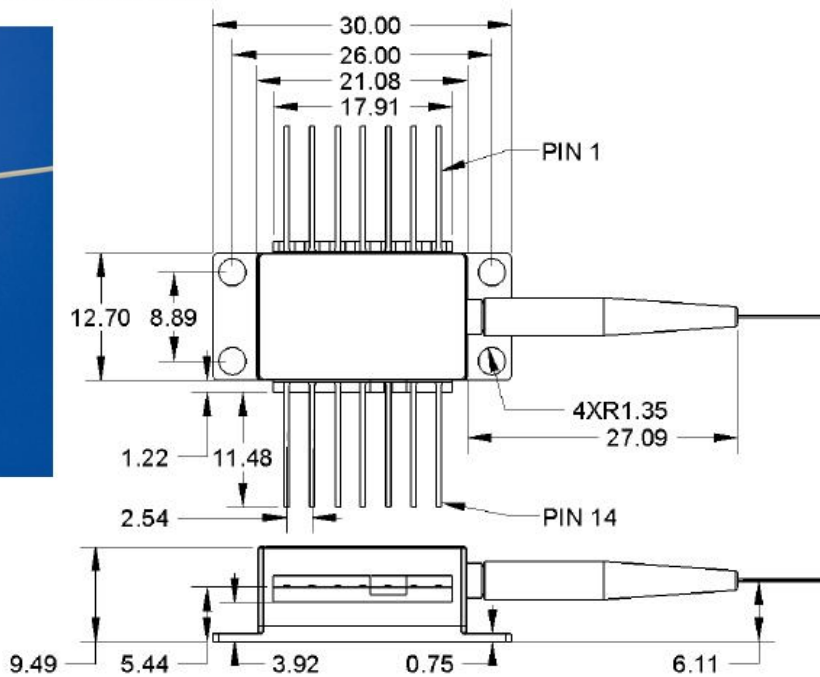
- ▶ Poate produce o diferență maxima de temperatură de 70°C
- ▶ Lucrează la nivele mici de căldură disipată
- ▶ Devine cu atât mai ineficient cu cat fluxul termic disipat e mai mare
- ▶ De 4 ori mai puțin eficiente decat sistemele cu compresie de vaporii



1550nm DFB Laser

Mechanical Drawing

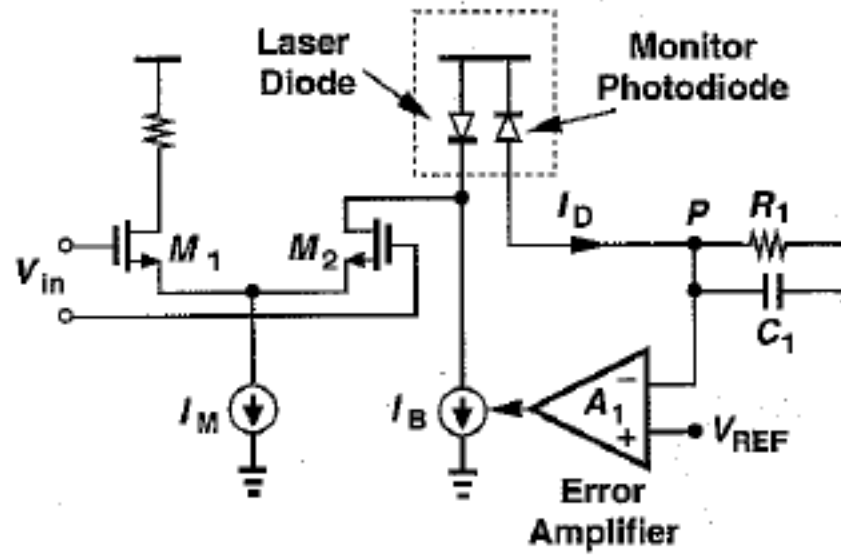
All units in mm



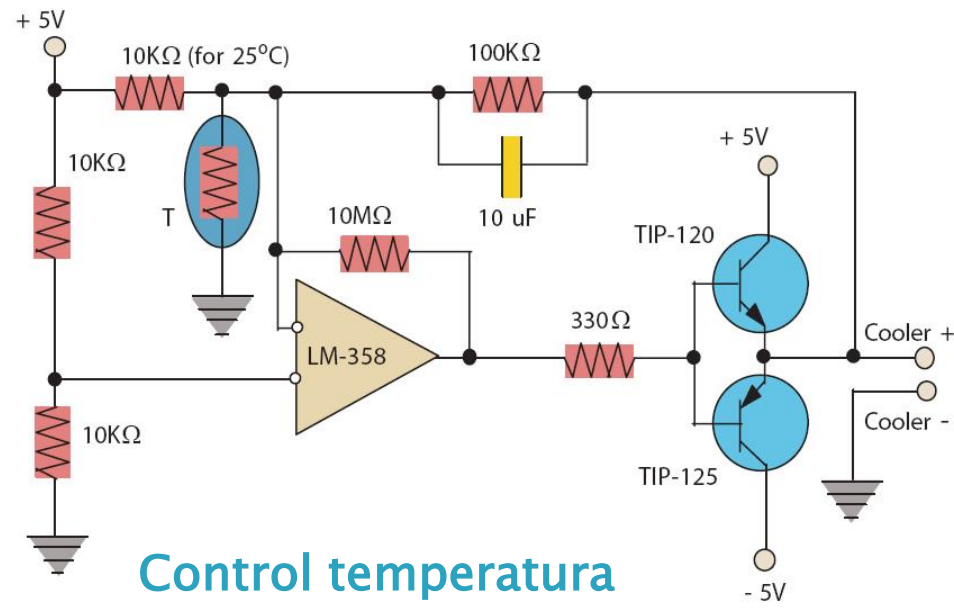
Pin out

Pin	Description
1	Thermistor
2	Thermistor
3	Laser Cathode (Bias)
4	Monitor PD Anode
5	Monitor PD Cathode
6	TEC +
7	TEC -
8	Case GND, Laser Anode
9	Case GND, Laser Anode
10	Case GND, Laser Anode
11	Case GND, Laser Anode
12	Laser Cathode (modulation)
13	Case GND, Laser Anode
14	Case GND, Laser Anode

Control dioda LASER



Control putere optica



Control temperatura

Directivitatea radiatiei exterioare

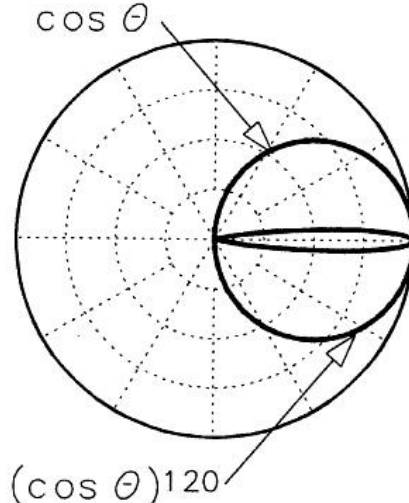
► Sursa lambertiana

$$P(\theta) = P_0 \cdot \cos \theta$$

- Eficienta cuplarii in fibra

$$\eta = \frac{P_f}{P_s} = NA^2 \quad \left/ \cdot \left(\frac{a}{r_s} \right)^2 \right.$$

$$\eta = \frac{P_f}{P_s} = NA^2 \cdot \left(\frac{a}{r_s} \right)^2 \cdot \left(\frac{g}{g+2} \right)$$



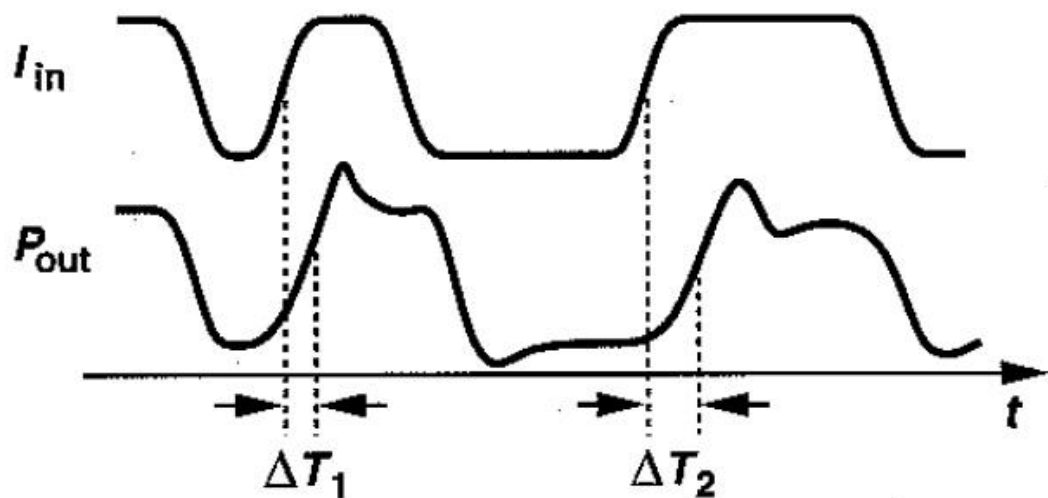
► Aproximatie Lambertiana pentru surse cu directivitate crescuta

$$P(\theta) = P_0 \cdot \cos^m \theta$$

$$\eta = \frac{P_f}{P_s} = \left(\frac{m+1}{2} \right) \cdot NA^2$$

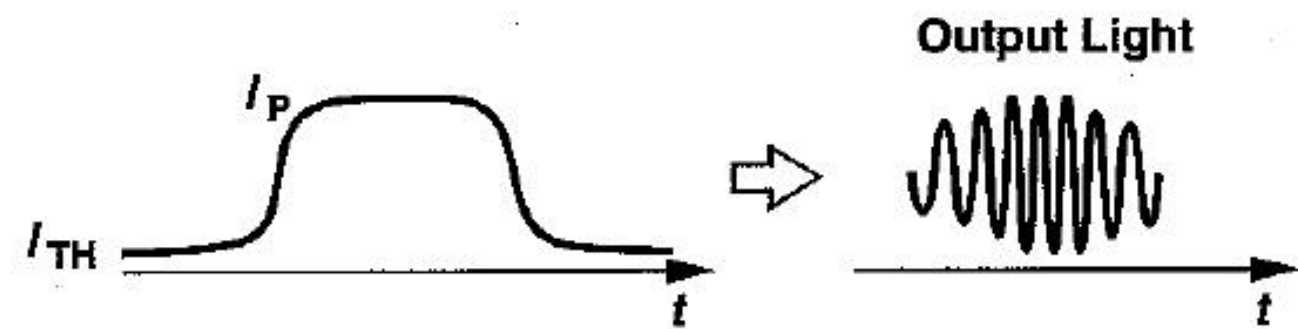
Turn-on delay

- ▶ La alimentarea cu curent a diodei laser emisia este initial spontana, devenind stimulata dupa amorsarea acestora
- ▶ emisia spontana este un fenomen intrinsec aleator I_{in}
- ▶ Intarzierea este variabila – jitter



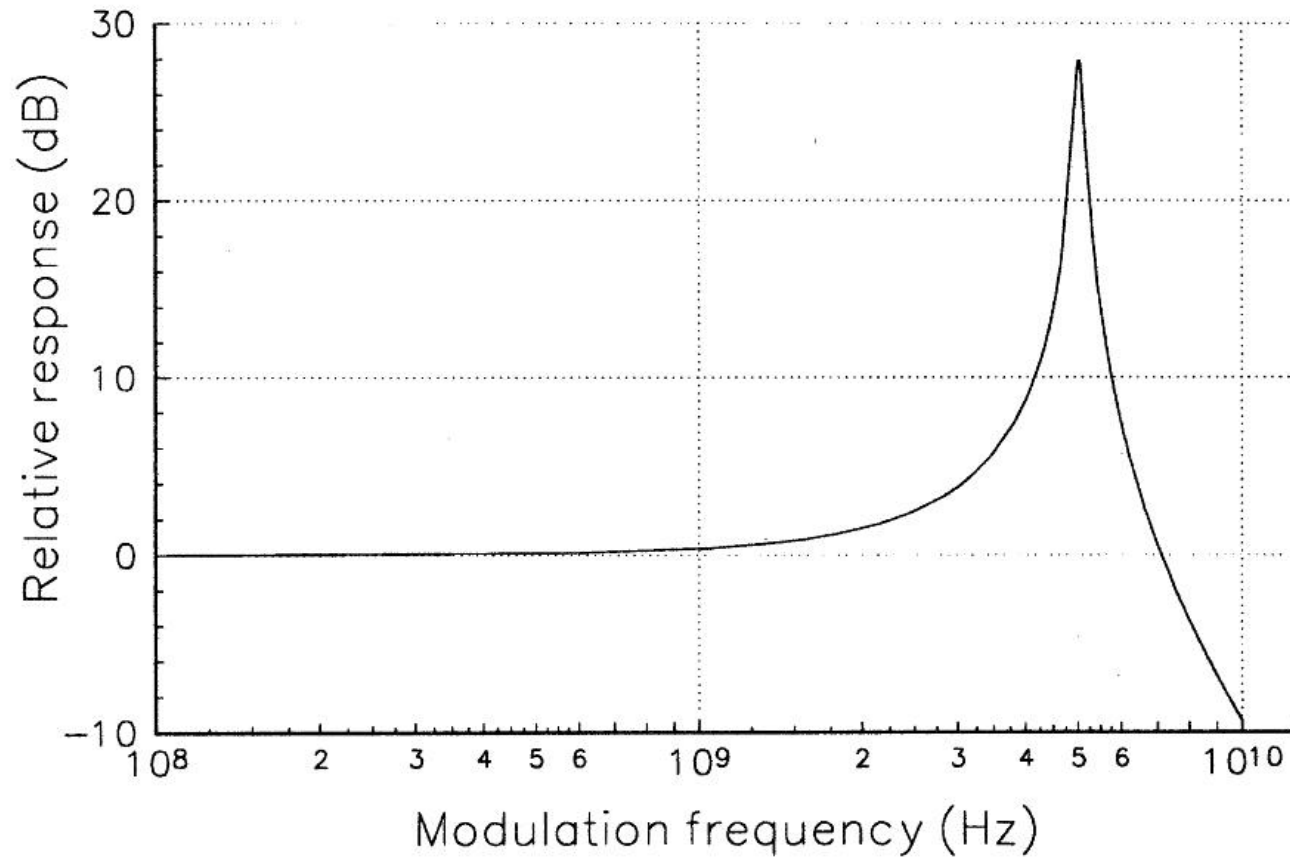
Chirping

- ▶ Frecventa de oscilatie depinde de indicele de refractie al materialului
- ▶ Indicele de refractie depinde de concentratia de purtatori
- ▶ Cand curentul este modulat in impuls apare o modulatie a frecventei luminii cu efectul cresterii latimii spectrale a diodei (un ordin de magnitudine)



Raspunsul unei diode laser

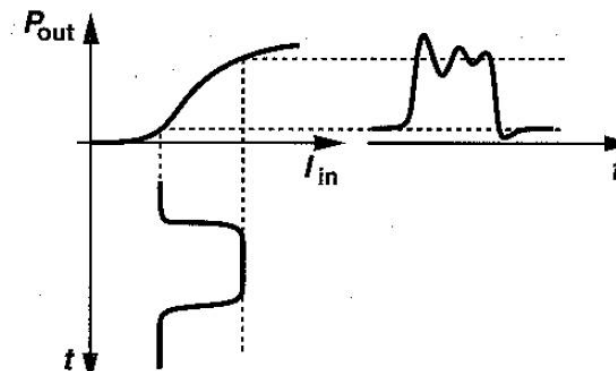
- ▶ oscilatii de relaxare - x GHz



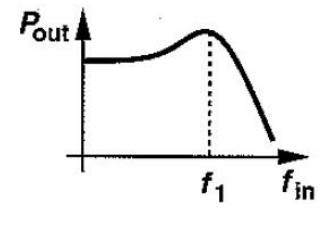
Oscilatii de relaxare

- ▶ Generate de schimbul de energie intre electroni si fotoni
- ▶ Amorsarea emisiei stimulate duce la descresterea numarului de electroni in starea excitata, ceea ce duce la micsorarea emisiei de fotoni
- ▶ Acumularea din nou a electronilor in starea excitata duce din nou la cresterea puterii

▶ $f_1 = 1 \div 4 \text{ GHz}$



(a)



(b)

Oscilatii de relaxare

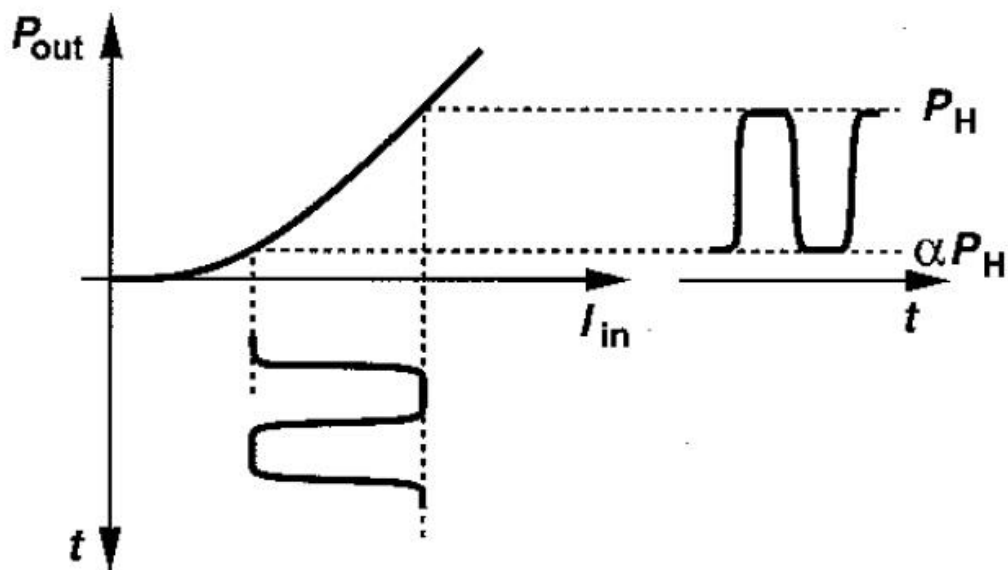
- ▶ Cresterea vitezei si minimizarea erorilor date de oscilatiile de relaxare si variatiile timpului de amorsare dioda este **partial** stinsa in timpul transmisiei unui nivel 0 logic

- ▶ Raport de stingeră

$$ER = \frac{P_H}{\alpha \cdot P_H} = \frac{1}{\alpha}$$

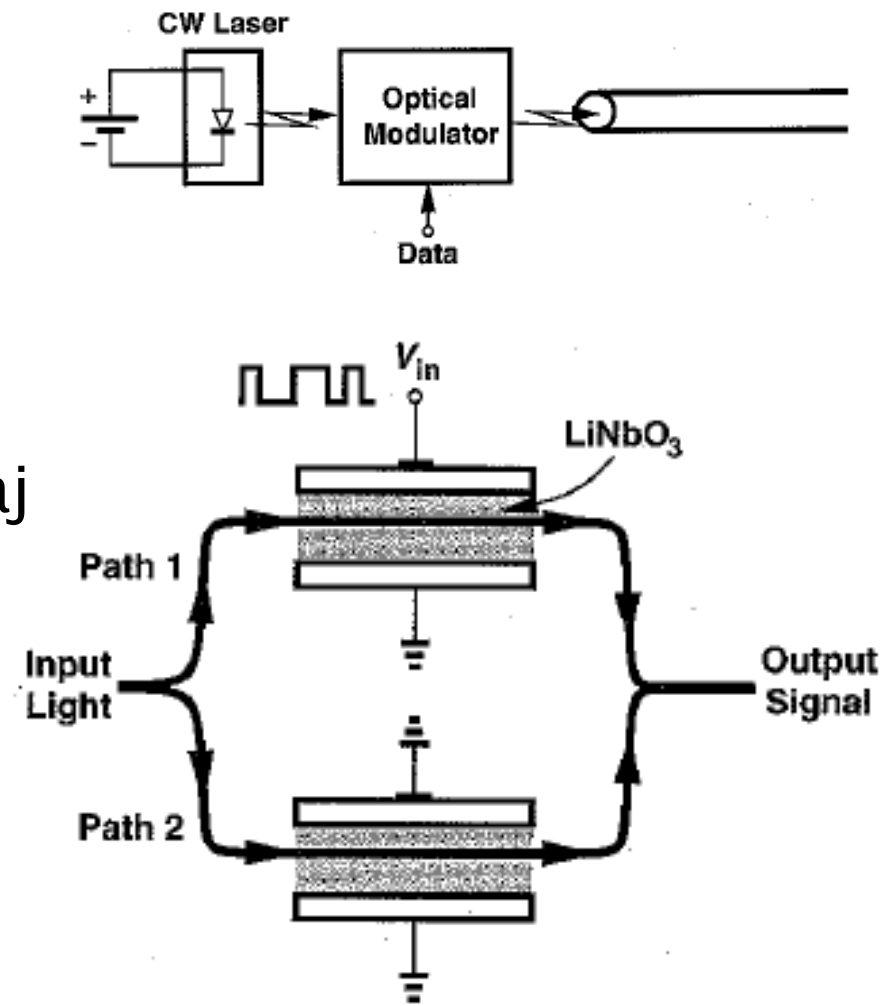
- ▶ Raportul semnal zgomot scade cu $(1-\alpha)$

- ▶ Tipic $ER = 10 \div 15 \text{dB}$



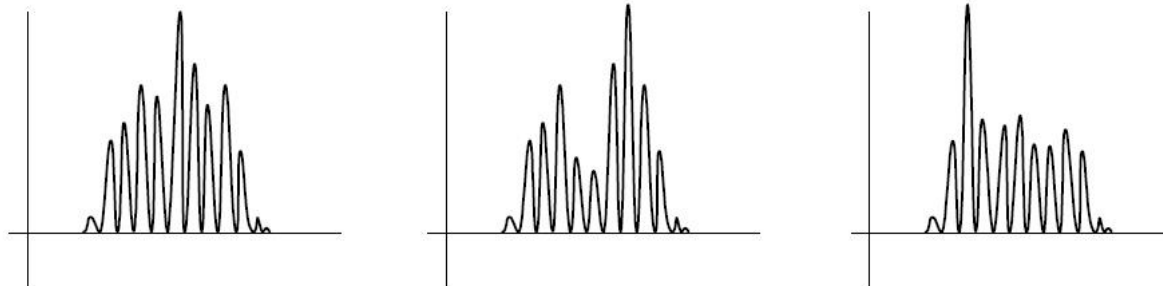
Modulație optică

- ▶ Pentru viteze mari se preferă utilizarea emisiei continue și modularea optică a radiatiei
- ▶ În LiNbO_3 viteza luminii depinde de campul electric, ceea ce permite introducerea unui defazaj egal π
- ▶ Creste complexitatea circuitului de control
- ▶ Tensiuni de 4÷6 V necesare



Alte caracteristici DL

- ▶ Mode hopping – salt de mod (hole burning)

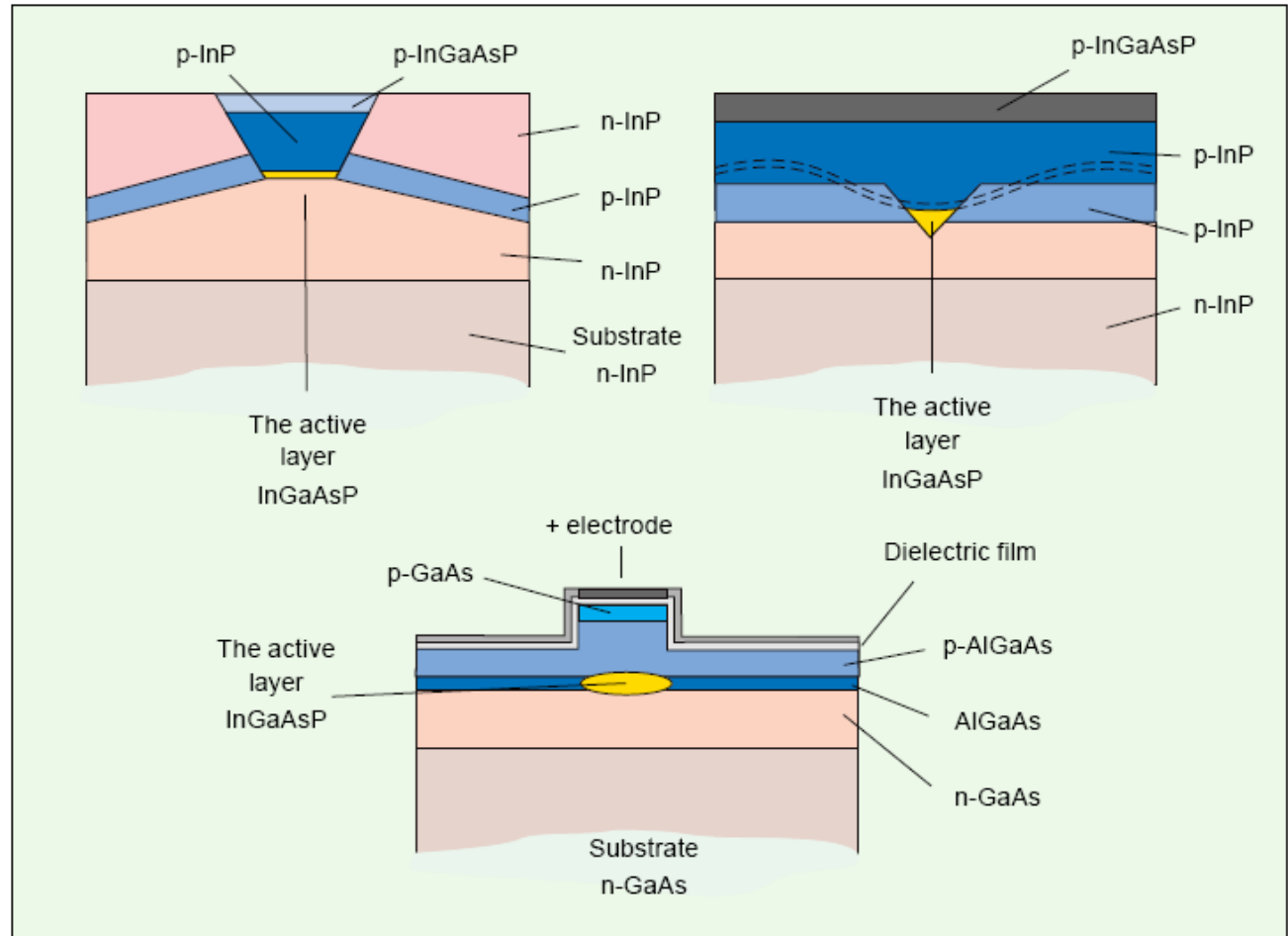


- ▶ RIN – Relative Intensity Noise (generat de emisia spontana)
- ▶ Zgomot de faza (idem) – necesitatea modulatiei in amplitudine
- ▶ Zgomot intercavitati (reflexiile din exterior in zona activa)
- ▶ Drift – variatia parametrilor cu varsta si temperatura (in special distanta intre oglinzi)

Diode LASER cu heterojunctiune

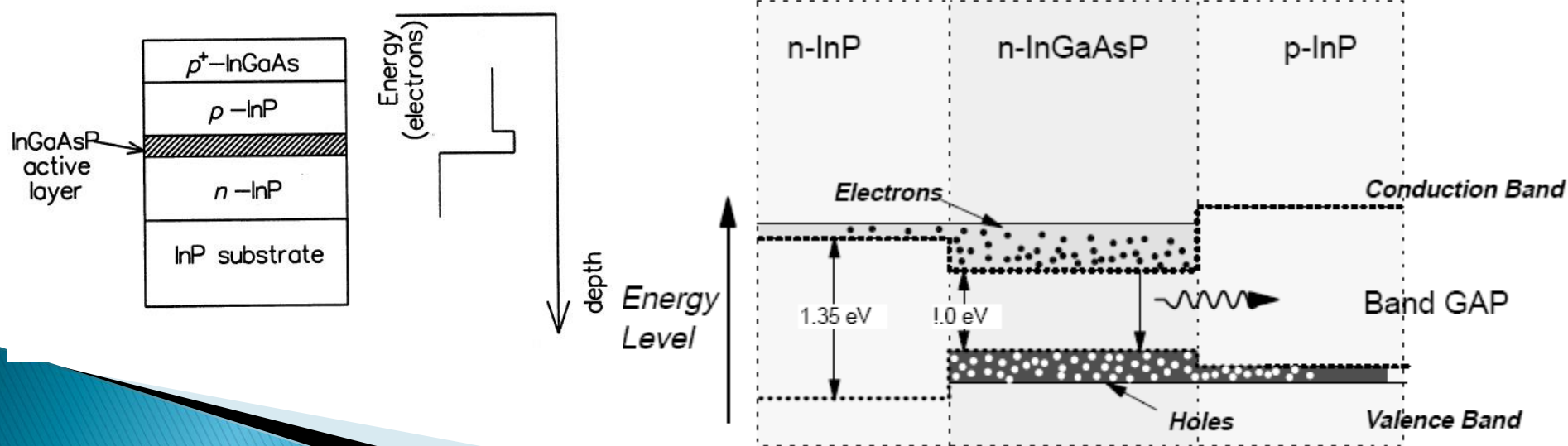
Heterojunctiune
ingropata

Heterojunctiune
muchie (ridge)



Heterojunctiuni – principiu

- ▶ Concentrare verticala a purtatorilor
 - Electronii sunt atrasi din zona n in zona activa
 - O bariera energetica existenta intre zona activa si zona n concentreaza electronii in zona activa
 - Situatie similara corespunzatoare golurilor
 - Purtoatorii sunt concentrati in zona activa, crescand eficienta

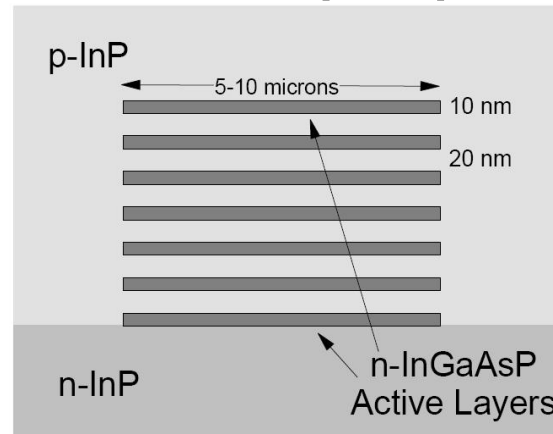


Quantum Well Laser

- ▶ Cand lumina e pastrata in cavitati mai mici decat lungimea de unda nu mai poate fi modelata prin unda, modelul devine cuantic
- ▶ Daca inaltimea zonei active scade la 5–20 nm comportarea diodei laser se schimba
 - energia necesara pentru inversarea de populatie se reduce, deci curentul de prag scade
 - dimensiunea redusa a zonei active duce la scaderea puterii maxime

Quantum Well Laser

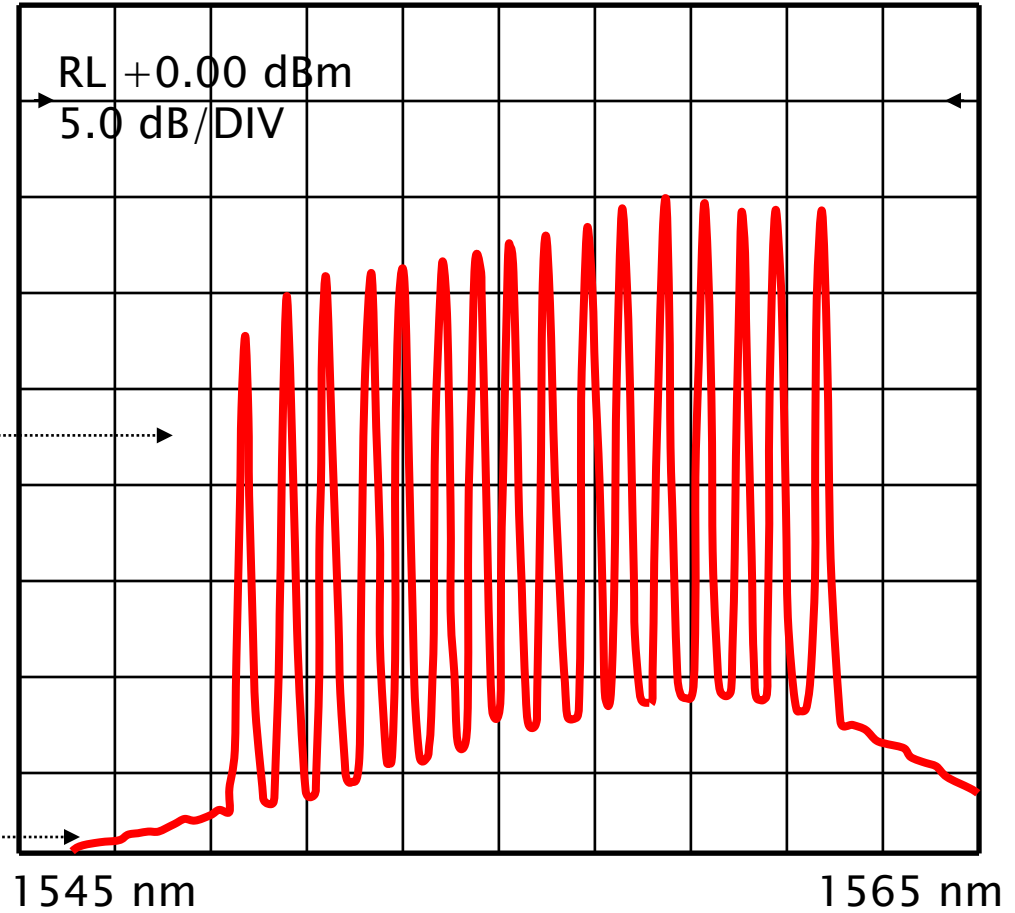
- ▶ multiple straturi subtiri suprapuse – Multiple Quantum Well



- ▶ Avantaje

- curent de prag redus
- stabilitate crescuta a frecventei la functionarea in impuls
- latime mica a liniilor spectrale
- zgomot redus

Spectrul WDM – Wavelength Division Multiplexing

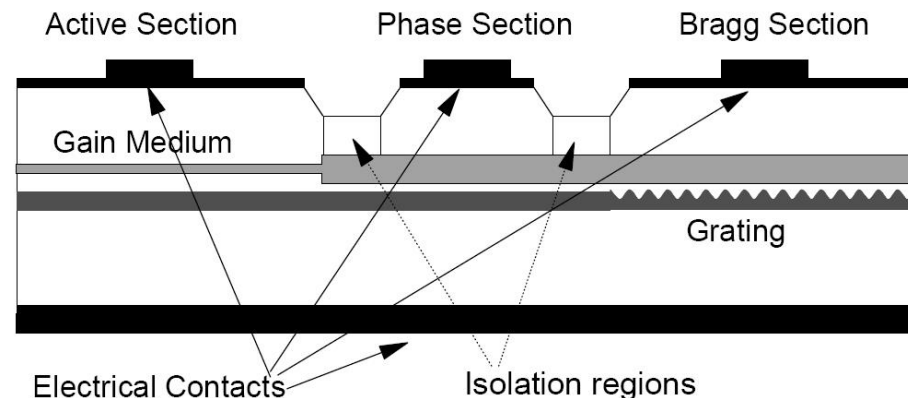
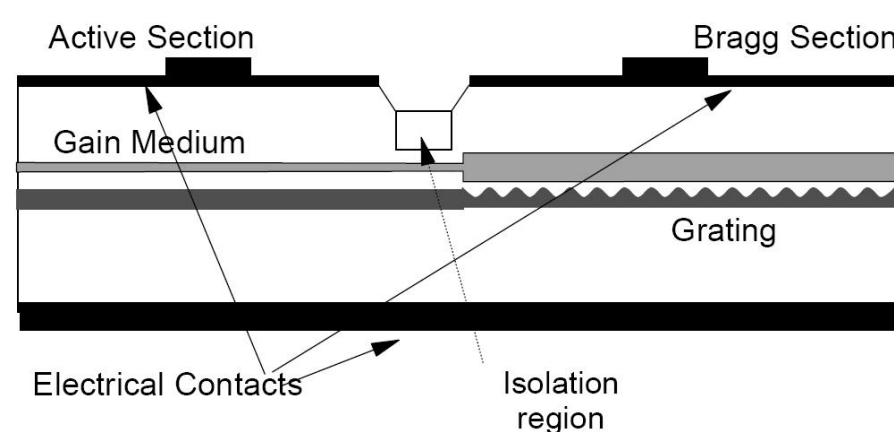


Diode laser reglabile

► Necesitate

- In sistemele WDM exista necesitatea (in propuneri pentru arhitecturi viitoare de retele) pentru reglaj foarte rapid al lungimii de unda pe un anume canal – zeci de ns
- In aceleasi sisteme intervine necesitatea rutarii prin lungime de unda – timp de reglaj necesar de ordinul secundelor)
- realizarea cererilor de date – timp de reglaj de ordinul sute de μ s
- reglarea emitatorilor individuali in sistemele WDM
 - lipsa necesitatii controlului strict la productia diodelor
 - degradarea lungimii de unda in timp

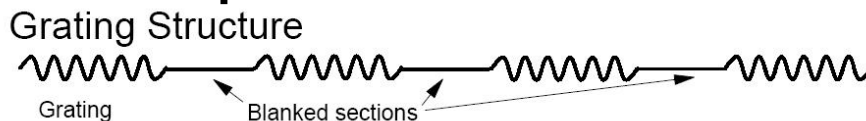
Diode laser reglabil



- ▶ Curentul trece prin zona activa ducand la amplificarea luminii
- ▶ curentul ce parurge zona corespunzatoare reflectorului Bragg modifica indicele de refractie al acestei zone deci lungimea de unda
- ▶ zona centrala suplimentara permite reglaj fin suplimentar in jurul valorii impuse de reflectorul Bragg

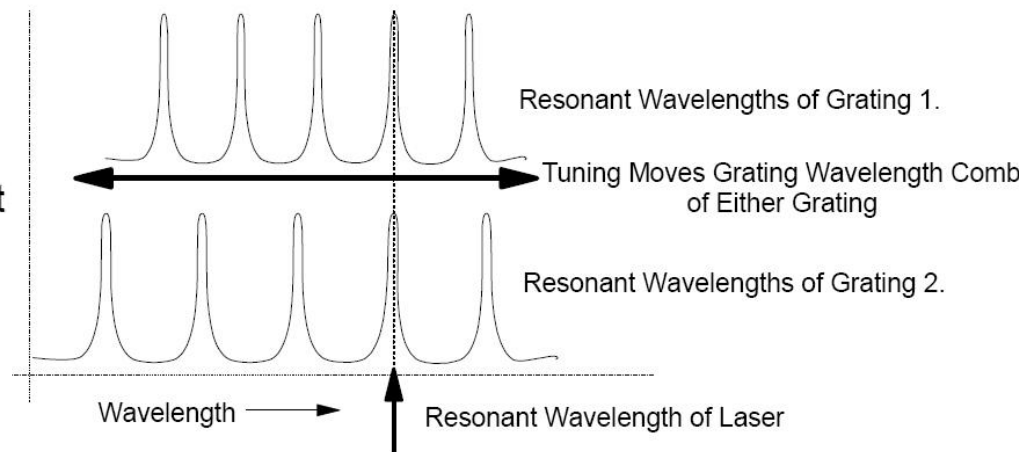
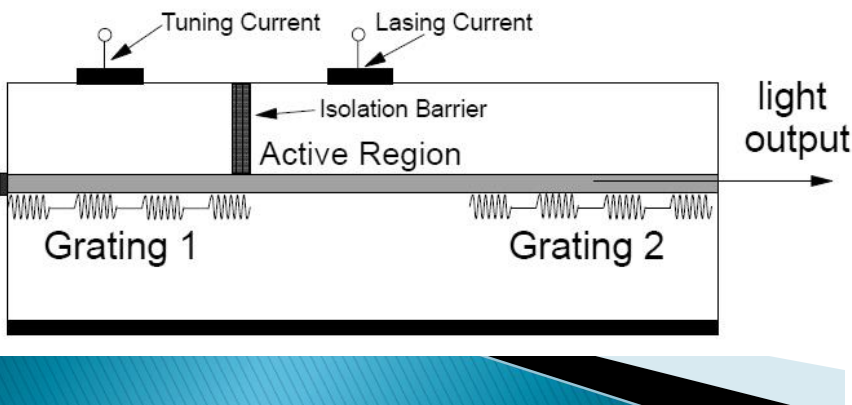
Diode laser reglabil

- ▶ Dezavantajul metodelor anterioare e dat de limita redusa a reglajului ($\sim 10\text{nm}$)
- ▶ Reflectorul Bragg esantionat (periodic) produce spectru de filtrare discret

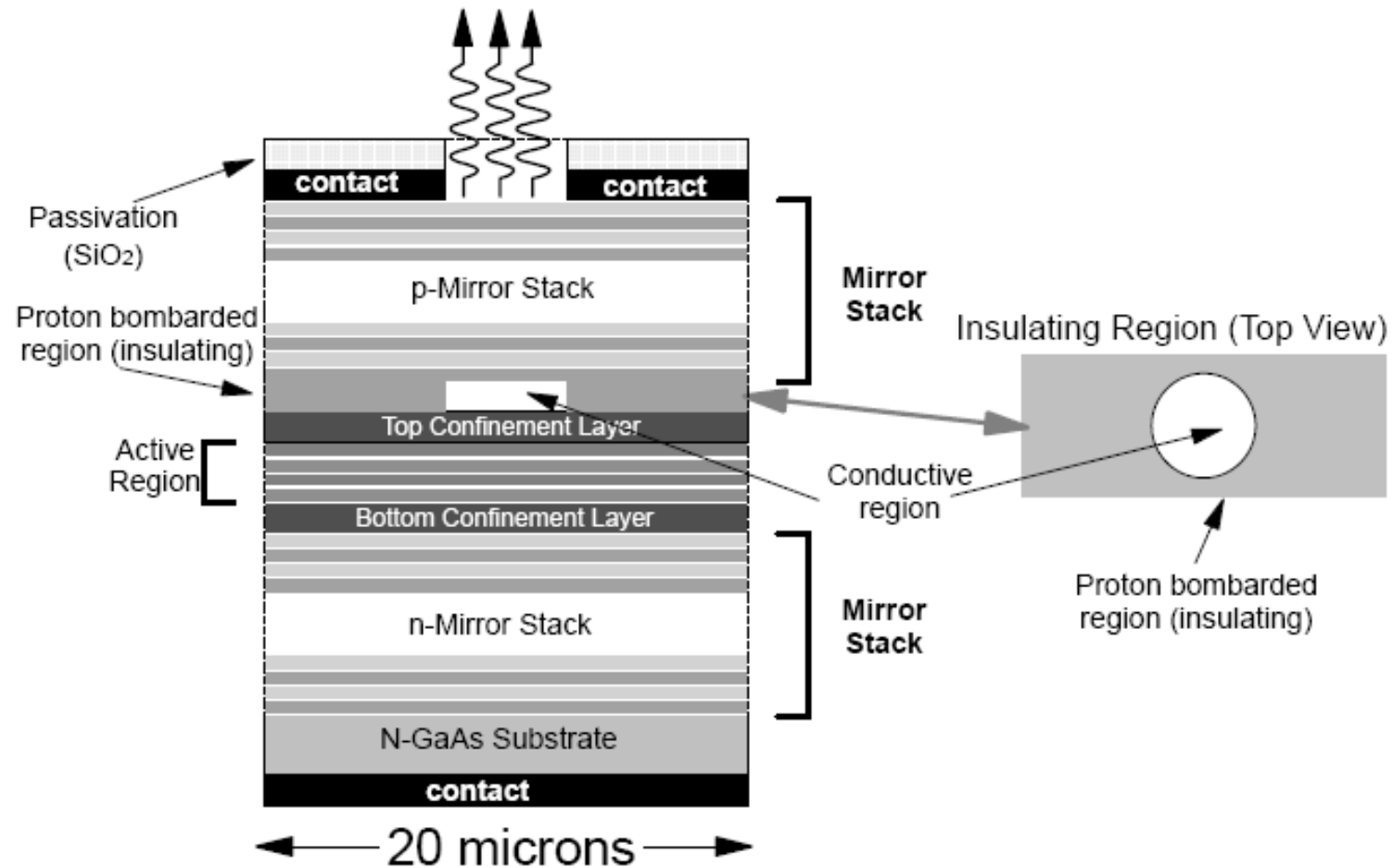


Dezavantaj :
reglajul e discret

- ▶ Regland unul din reflectori se obtine rezonanta la suprapunerea celor doua spectre



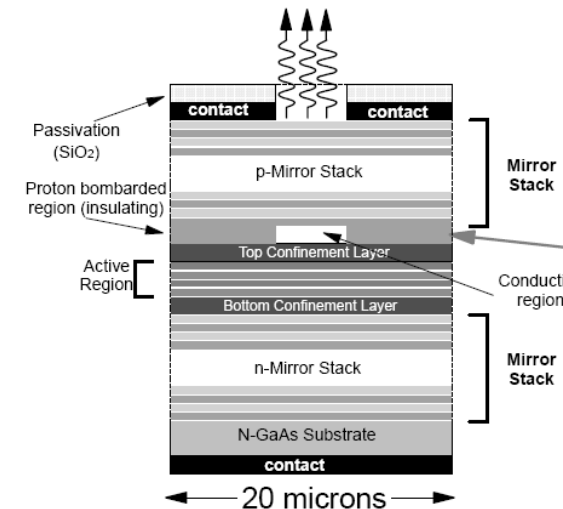
Vertical Cavity Surface Emitting Lasers (VCSEL)



Vertical Cavity Surface Emitting Lasers (VCSEL)

- ▶ Oglinzile pot fi realizate din straturi successive din semiconductori cu indici de refractie diferiti – reflector Bragg
- ▶ Prelucrarea laterală se rezuma la taierea materialului

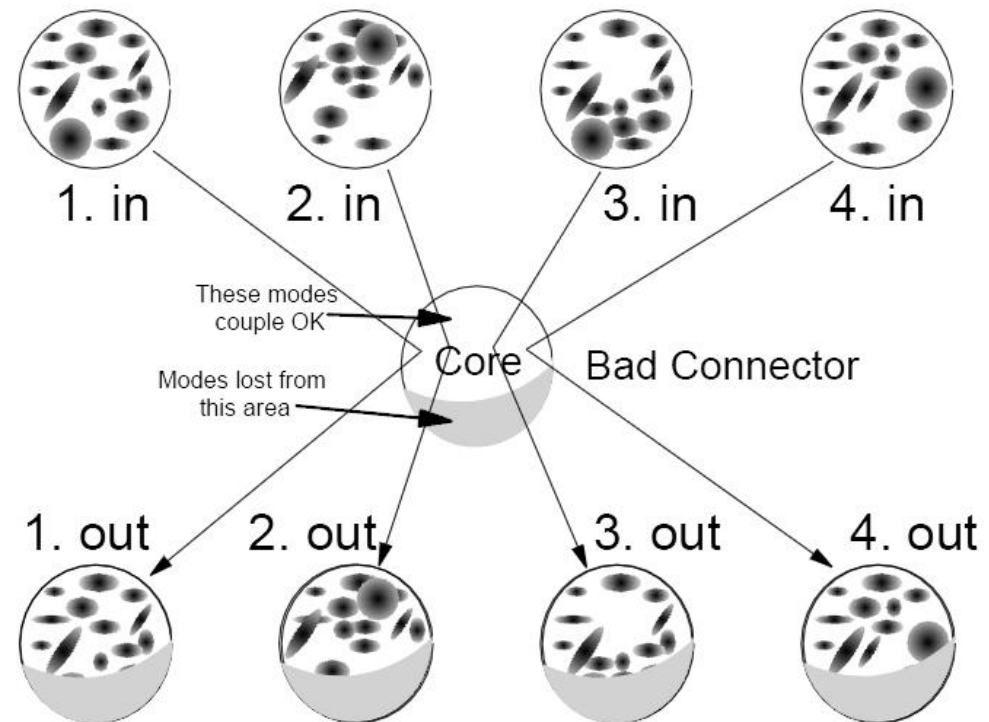
- ▶ Caracteristici
 - ▶ puteri de ordinul 1mW
 - ▶ lungimi de unda 850 si 980 nm
 - ▶ radiatie de iesire circulara cu divergenta redusa
 - ▶ Curenti de prag foarte mici (5mA) si putere disipata redusa
 - ▶ circuite de control speciale nu sunt necesare
 - ▶ Banda de modulatie mare (2.4GHz)
 - ▶ Stabilitate mare cu temperatura si durata de viata



VCSEL

▶ Caracteristici

- VCSEL produce mai multe moduri transversale
 - insensibila la pierderile selective la mod din fibrele multimod (principala limitare in utilizarea diodelor laser in fibrele multimod)



Contact

- ▶ Laboratorul de microunde si optoelectronica
- ▶ <http://rf-opto.etti.tuiasi.ro>
- ▶ rdamian@etti.tuiasi.ro